

МИНИСТЕРСТВО ОБРАЗОВАНИЯ И НАУКИ РОССИЙСКОЙ  
ФЕДЕРАЦИИ

ФИЛИАЛ ФЕДЕРАЛЬНОГО ГОСУДАРСТВЕННОГО  
АВТОНОМНОГО ОБРАЗОВАТЕЛЬНОГО УЧРЕЖДЕНИЯ  
ВЫСШЕГО ПРОФЕССИОНАЛЬНОГО ОБРАЗОВАНИЯ  
«КАЗАНСКИЙ (ПРИВОЛЖСКИЙ) ФЕДЕРАЛЬНЫЙ  
УНИВЕРСИТЕТ»  
В Г. НАБЕРЕЖНЫЕ ЧЕЛНЫ

ФАКУЛЬТЕТ ПРИКЛАДНОЙ МАТЕМАТИКИ И  
ИНФОРМАЦИОННЫХ ТЕХНОЛОГИЙ

КАФЕДРА ПРИКЛАДНОЙ МАТЕМАТИКИ И  
ИНФОРМАТИКИ

Специальность: 010501.65 — Прикладная математика и информатика

ВЫПУСКНАЯ КВАЛИФИКАЦИОННАЯ РАБОТА  
(Дипломная работа)

**ЧИСЛЕННОЕ МОДЕЛИРОВАНИЕ ПЛОСКОГО  
ВЗРЫВА ЗАКРУГЛЁННОГО ЗАРЯДА  
ЭЛЛИПТИЧЕСКОЙ ФОРМЫ С ИСПОЛЬЗОВАНИЕМ  
ТЕХНОЛОГИИ МНОГОПОТОЧНОСТИ**

Регистрационный номер

Работа завершена:

«\_\_\_\_\_» \_\_\_\_\_ 2011 г. \_\_\_\_\_ М. А. Сафронов, гр. 4606

**Работа допущена к защите:**

Научный руководитель

д. ф.-м. н., профессор

«\_\_\_\_\_» \_\_\_\_\_ 2011 г. \_\_\_\_\_ Л. М. Котляр

Зав. кафедрой

д. ф.-м. н., профессор

«\_\_\_\_\_» \_\_\_\_\_ 2011 г. \_\_\_\_\_ Р. Х. Латыпов

Набережные Челны — 2011 год

# Содержание

<b>Введение</b>	<b>6</b>
<b>1 Аналитический обзор</b>	<b>9</b>
1.1 Обзор исследований по математическому моделированию взрывов . . . . .	9
1.2 Обзор технологии параллельных вычислений и современных техник её применения . . . . .	10
1.3 Выбор языка программирования . . . . .	12
<b>2 Формулирование картины взрыва согласно ТЖМ</b>	<b>14</b>
2.1 Постановка краевой задачи, эквивалентной исходной . . .	14
2.2 Вывод решения для краевой задачи . . . . .	15
2.2.1 Комплексный потенциал на плоскости вспомогательного переменного . . . . .	16
2.2.2 Выражение комплексного потенциала через функцию Жуковского . . . . .	16
2.2.3 Разложение функции Жуковского на прямолинейную часть и корректирующую функцию . . . . .	17
2.2.4 Кривизна края заряда эллиптической формы . . . .	22
2.3 Вычисление координат точек на границе воронки взрыва .	22
<b>3 Численное решение задачи</b>	<b>24</b>
3.1 Представление параметров модели в программе . . . . .	24
3.2 Представление аналитического решения задачи в программе	25
3.2.1 Программирование численного интегрирования . .	25
3.2.2 Вычисление значений тета-функций . . . . .	26
3.2.3 Вычисление значений функции $dw/du$ . . . . .	27
3.2.4 Вычисление значений функции Жуковского $\chi(u)$ .	27
3.2.5 Вычисление значений корректирующей функции $f(u)$	28
3.2.6 Вычисление коэффициентов $c_n$ в разложении $f(u)$ в ряд . . . . .	28
3.2.7 Программирование отображения значений дополнительного переменного на область исходного переменного . . . . .	29
3.3 Программирование вычисления координат точек на границе воронки взрыва . . . . .	29
3.4 Программный пакет для вывода графиков функций средствами Haskell . . . . .	30

3.5	Сборка цельного приложения с учётом многопоточности . . . . .	30
<b>4</b>	<b>Анализ полученных результатов</b>	<b>33</b>
4.1	Результаты вычислений и их интерпретация . . . . .	33
4.2	Оценка производительности . . . . .	34
	<b>Заключение</b>	<b>37</b>
	<b>Список литературы</b>	<b>39</b>
	<b>Приложения</b>	<b>42</b>
A	BlastModel.hs . . . . .	42
B	Theta.hs . . . . .	50
C	Main.hs . . . . .	51

# Реферат

Сафронов М. А. ЧИСЛЕННОЕ МОДЕЛИРОВАНИЕ ПЛОСКОГО ВЗРЫВА ЗАГЛУБЛЁННОГО ЗАРЯДА ЭЛЛИПТИЧЕСКОЙ ФОРМЫ С ИСПОЛЬЗОВАНИЕМ ТЕХНОЛОГИИ МНОГОПОТОЧНОСТИ, дипломная работа: стр. 41, рис. 8, табл. 1, библиогр. назв. 27.

Ключевые слова: МАТЕМАТИЧЕСКОЕ МОДЕЛИРОВАНИЕ, КРАЕВАЯ ЗАДАЧА, ТЕОРИЯ СТРУЙ, ТВЁРДО-ЖИДКОСТНАЯ МОДЕЛЬ, ПАРАЛЛЕЛЬНОЕ ПРОГРАММИРОВАНИЕ, NASKELL.

Рассматривается плоский взрыв заглублённого заряда эллиптической формы в импульсной постановке. Решение находится с использованием твёрдо-жидкостной модели Лаврентьева модифицированным методом Чаплыгина.

Разработана программа, численно рассчитывающая координаты точек границы воронки взрыва заглублённого эллиптического заряда, использующая возможности параллельных вычислений. Показана эффективность программирования в стиле, предусматривающем возможность выполнения программы в многоядерной среде, в том числе многопроцессорной.

# Условные обозначения и сокращения

ПО	—	программное обеспечение;
ТЖМ	—	твёрдо-жидкостная модель;
GHC	—	Glasgow Haskell Compiler, название традиционного известнейшего компилятора Haskell;
ОС	—	операционная система;
МВ	—	мегабайт;
$\chi(u)$	—	функция Жуковского;
$\phi_0$	—	значение потенциала течения на поверхности заряда;
$v_0$	—	критическое значение скорости течения на свободной поверхности;
$\tau$	—	параметр, требуемый для полного задания тета-функций;
$\alpha$	—	угол в точках $A$ и $D$ области 2.1 течения;
$\varkappa$	—	функция кривизны на границе заряда;
$c_n$	—	постоянные множители из разложения корректирующей функции (2.23) $f(u)$ в ряд Лорана, $n \in [0; \infty)$ ;
$n_{theta}$	—	число слагаемых в рядах (3.1) и (3.4), позволяющих вычислить значение тета-функций численно;
$n_{integral}$	—	частота разбиения отрезка интегрирования на сетку;
$n_{cn}$	—	количество постоянных множителей $c_n$ в разложении $f(u)$ , а, следовательно, и количество слагаемых в нём;
$\varepsilon$	—	желаемая точность при определении коэффициентов $c_n$ численными методами.

# Введение

В последнее время при производстве различного рода работ всё более широкое применение находят технологии, основанные на использовании энергии взрыва. Взрыв представляет собой сложную цепь физико-химических процессов, включающую в себя детонацию взрывчатого вещества, распространение ударных волн, фазовые превращения, пластическое течение среды, деформацию и разрушение. Для полного всестороннего изучения взрыва в сплошной среде применяются такие теории, как теория детонации, газовой динамики, твёрдого деформируемого тела, баллистики и многие другие.

Одной из основных задач, возникающих при использовании взрывов на выброс, является задача определения размеров и формы воронок (при взрыве сосредоточенных зарядов) или выемок (при взрыве шнуровых зарядов) выброса в зависимости от геометрии области, свойств грунта, энергетической характеристики заряда, а также его формы и расположения. Важность этой задачи обусловлена широким применением удлинённых линейно-распределённых или шнуровых зарядов при строительстве каналов, дамб и т. п.

Существуют различные подходы к исследованию этой задачи. Один из них состоит в обобщении опыта применения взрыва и экспериментальных данных и в построении на этой основе эмпирических формул (см., напр., [15]). Получающиеся при этом формулы довольно просты и удобны в использовании. Однако применимость их ограничена, т. к. они в основном позволяют рассчитывать взрывы на выброс в однородном полупространстве.

Другой подход заключается в создании математических моделей, описывающих основные процессы, происходящие при взрыве. Ряд авторов (см., напр., [1], [4]) при построении таких моделей стремятся учесть, по возможности, все стороны явления. При этом появляется возможность изучения влияния отдельных факторов на действие взрыва, но исследование взрыва сводится к решению сложных математических задач, требующих привлечения самых современных ЭВМ. Вследствие этого применимость таких моделей также ограничена, и используют их лишь для расчёта единичных взрывов, в основном, ядерных.

Из сказанного ясно, что побуждало многих исследователей к созданию различных моделей взрыва в грунте. При этом стремились, чтобы модель позволяла достаточно полно изучать основные явления взрыва и была сравнительно проста. По-видимому, наиболее теоретически обоснованной моделью, позволяющей в ряде случаев находить форму выемки

выброса при взрыве шнурового заряда, является твёрдо-жидкостная модель (ТЖМ) взрыва на выброс, предложенная М. А. Лаврентьевым [11] и применённая впервые к решению конкретных задач В. М. Кузнецовым [9], [10]. Согласно этой модели, основанной на импульсно-гидродинамической постановке [2], граница выемки выброса находится как линия тока, вдоль которой скорость постоянна и равна критической, характеризующей среду.

За последние 20 лет, прошедших с момента опубликования монографии [6], судя по всему, не было выпущено больше ни одной работы, в которой применялась бы ТЖМ как средство решения прикладных задач использования взрывов на выброс.

Задача, рассмотренная в данной работе, является обобщением задачи, решённой в других постановках Котляром Л. М. [8], Ильинским Н. Б. [6] и Мартынюком П. А. [12]. В работе [8] рассматривается криволинейный незаглублённый заряд (расположенный на поверхности грунта), в работе [6] заряд полигональной формы, а [12] сводит взрыв кругового заряда к взрыву точечного заряда, теряя общность.

**Постановка задачи.** *Требуется найти геометрическое место точек, расположенных на границе воронки взрыва заряда эллиптической формы, заглублённого в грунт. Для простоты взрыв рассматривается на двумерной плоскости, что позволяет экстраполировать результат двояко: как взрыв заряда в форме эллипсоида вращения, или как взрыв шнурового заряда эллиптического сечения.*

Работа будет состоять из двух этапов. На первом этапе мы построим чисто математическую модель взрыва, состоящую из одной функции, которая позволяет найти искомую границу воронки взрыва исходя из его физических параметров. На втором этапе математическая модель будет транслирована в программный код, позволяющий исследовать модель средствами персонального компьютера.

В последние годы (2006–2010 и далее) наблюдается значительный тренд на использование многопроцессорных (в настольных системах — многоядерных) технологий в компьютерной индустрии [25], обусловленный технологическими трудностями, препятствующими развитию традиционных однопроцессорных/одноядерных решений. Многопроцессорный подход предполагает разработку программного обеспечения, явно предусматривающего его возможное выполнение в среде, способной выполнять некоторые вычисления параллельно. Для разработки такого рода «параллельного» ПО требуется использовать вполне определённые методики программирования, однако, преимущества в виде многократного увеличения производительности, полученные при их использовании, перевешивают сложности разработки.

Таким образом, **дополнительные требования** к решению задачи следующие. *Запрограммировать вычисления полученной на первом*

*этапе математической модели таким образом, чтобы в наиболее возможно полной мере воспользоваться возможностями многопроцессорной/многоядерной архитектуры современной вычислительной техники.*

**Целью** настоящей работы является:

- 1 решить задачу, являющуюся обобщением более ранних работ в данной области;
- 2 предоставить средство расчётов реальных границ воронок от взрывов, масштабируемое и пригодное для выполнения на высокопроизводительной вычислительной технике, эксплуатирующей параллельность вычислений.



# Глава 1. Аналитический обзор

## 1.1 Обзор исследований по математическому моделированию взрывов

Исследованию механизма взрыва в грунтах в середине XX века посвящено много работ. Интерес к этой теме был вызван как практически, так и теоретическими соображениями. Сложность явления, большой диапазон изменений параметров (напряжений, скоростей и др.), разнообразие условий и назначения взрыва представляют благоприятную и увлекательную тему для исследователя, для его изобретательности и интуиции. Большое значение при этом имеет и практическое использование взрывов в грунтах и горных породах. Взрывы применяются при разработке полезных ископаемых, при проходке траншей, при сооружении плотин. Например, большая плотина в Медео (близ Алма-Аты) и гидротехнический комплекс в Нуреке (Таджикистан) были сооружены с использованием энергии взрыва.

После работ О. Е. Власова, применившего импульсно-гидродинамическую постановку (ИГП) к изучению взрыва, и пионерских работ М. А. Лаврентьева и В. М. Кузнецова, поставивших и решивших ряд краевых задач теории взрыва, появилось большое количество статей, посвящённых исследованию задач взрыва в ИГП (к 1990 г. их библиография насчитывала свыше 150 наименований; большая их часть была выполнена в Новосибирске, Киеве, Казани и Москве). Из монографий, в которых рассматриваются задачи взрыва в ИГП, ближе всего к теме настоящей работы книга В. М. Кузнецова [10] и книга Ильинского [6].

Используемая в данной работе твёрдо-жидкостная модель сильно схематизирует явление, на зато она приводит его к сравнительно простому математическому описанию. Основное упрощение в импульсной модели состоит в том, что среда предполагается несжимаемой, в результате чего исчезает из поля зрения волновой процесс и математически задача сводится к краевой задаче для эллиптических уравнений (в случае несжимаемой среды — к задаче для уравнения Лапласа). При помощи такой модели, конечно, нельзя ответить на все вопросы; однако на некоторые (не только качественные, но и количественные) ответ получается с достаточной степенью приближения.

В данной работе решается самая очевидная задача, которая может

быть решена при помощи ТЖМ — задача определения границы воронки выброса. В импульсной модели остался недостаточно обоснованным выбор критерия, определяющего эту границу. Причина возникающей при этом трудности понятна — здесь ставится вопрос о критерии прочности, критерии разрушения, т. е. возникает новый физический вопрос, который не может быть решён простым моделированием среды несжимаемой жидкостью. Обычным решением данной проблемы является выбор границы воронки выброса как линии тока, на которой функция тока принимает определённое «критическое» значение, зависящее от параметров среды.

Метод решения поставленной задачи основан на методе, успешно применённом в работе Л. М. Котляра [8] для незаглублённого заряда. Отличие от работы [8] в заглублении заряда и приданию ему эллиптической формы, т. е., фактически, в переходе к более обобщённой задаче. Метод Л. М. Котляра основывается на некоторых модификациях метода Чаплыгина [3] и использовании тета-функций [16] для построения искомых функций.

Работа [6], по-видимому, была последней из опубликованных по теме использования ТЖМ во взрывном деле. Никаких работ с 1986 года больше не издавалось, поэтому, данная работа приобретает особую актуальность как возобновляющая прерванные по тем или иным причинам исследования.

В настоящее время (начало 2011 года) из общедоступных и относительно известных средств моделирования взрывов являются специализированные программные пакеты для персонального компьютера, такие, как LS-DYNA [13]. Расчёт в этих программах ведётся при помощи различных сеточных методов, рассчитывающих взрыв как определённую деформацию сплошной среды. Такой подход исключительно ресурсозатратный, особенно при необходимости соблюдать высокую точность расчётов, и расчёты по более простой математической модели, такой как ТЖМ, в некоторых случаях будет эффективнее, чем использование подобных программных пакетов.

## **1.2 Обзор технологии параллельных вычислений и современных техник её применения**

Все современные микропроцессоры имеют два или больше ядер и относительно скоро можно ожидать, что количество ядер вырастет до десятков или сотен. Больше нельзя рассчитывать на то, что производительность каждого отдельного ядра будет расти и дальше. Единственный

способ достичь увеличения производительности от каждого следующего поколения чипов — разделить работу программы на множество обрабатываемых данных ядер.

Разделить приложение на множество обрабатываемых ядер возможно, если каким-либо образом автоматически распараллелить последовательный код. Данный подход является текущей областью исследований в области компьютерных наук. Другой подход заключается в написании полу-явно или явно параллельных программ, которые затем будут распределены на множество ядер операционной системой и это именно тот подход, который будет использоваться в данной работе.

Следует разделить понятия «параллельные», «*parallel*», вычисления и «одновременные»<sup>1</sup>, «*concurrent*» вычисления. Параллельная программа написана с конкретной целью воспользоваться потенциалом истинно параллельного вычислительного ресурса, такого, как многоядерного процессора. От параллельной программы мы ожидаем истинно одновременного выполнения. Одновременность же является техникой структурирования программного обеспечения, которая позволяет смоделировать вычисления в виде гипотетически независимых действий, которые могут синхронизироваться и связываться друг с другом.

Написание одновременных и параллельных программ — гораздо более сложная задача, чем написание последовательных программ. Однако, существуют серьёзные причины для написания одновременных и параллельных программ:

- 1 **Производительность.** Чтобы получить увеличение производительности с каждым новым поколением многоядерных процессоров, нам следует писать параллельные программы.
- 2 **Соккрытие задержек.** Даже на одноядерных процессорах мы можем использовать одновременные программы для того, чтобы скрыть от пользователя ожидание медленных операций ввода/вывода на диски и сетевые устройства.
- 3 **Структурирование ПО.** Некоторые виды задач могут быть удобным образом представлены в виде множества связанных друг с другом нитей выполнения, что помогает структурировать код более модульным образом. Например, можно моделировать компоненты пользовательского интерфейса как отдельные нити выполнения.
- 4 **Одновременность в реальности.** В распределённых системах и системах реального времени приходится моделировать и реагиро-

---

<sup>1</sup> Устоявшегося перевода термина *concurrent* на русский язык нет. Поэтому для ясности, так как разница в терминах *parallel* и *concurrent* крайне значительна, везде далее в тексте будет использовано выражение «одновременная программа» как перевод фразы «concurrent program»

вать на события в реальном мире, например, обрабатывать многочисленные запросы к серверу, параллельно.

Современные микропроцессоры используют так называемый *thread-level parallelism*, «параллелизм на уровне нитей выполнения» [25, стр. 195]. Это означает, что участки кода, которые должны выполняться параллельно (если это возможно), указываются явно или полу-явно разработчиком программного обеспечения. Будут ли эти участки *действительно* выполняться параллельно, зависит от компилятора программы и от операционной системы, которая будет её выполнять. В любом случае, для описания параллелизма выполнения программы используют понятие «нить выполнения» («thread»). Нить выполнения инкапсулирует вычисления, которые должны выполняться одновременно с другими нитями.

В настоящее время существует несколько высокоуровневых техник построения параллельных программ, например, MapReduce [19], Software Transactional Memory [26] или модель акторов [21].

В программе, которая будет реализована в рамках данного проекта, будет использована как истинная параллельность чисто математических вычислений, так и техника одновременности операций ввода/вывода. Вычисления и диалог с пользователем будут производиться одновременно, что позволит, например, в перспективе — запустить параллельно несколько вычислений из одного экземпляра программы. Для увеличения производительности же будет использован параллелизм выполнения некоторых вычислительных операций в программе.

## 1.3 Выбор языка программирования

Для программирования вычислений, с учётом требований, предъявленных к задаче, был выбран язык Haskell [24].

Haskell является чисто функциональным строго типизированным языком программирования с «ленивой» моделью вычислений. Он одновременно как интерпретируемый, так и компилируемый (доступны как интерпретатор Haskell, так и компилятор). Возможно заниматься отладкой программы в интерпретаторе, с последующей компиляцией исходного кода в нативное приложение, не требующее интерпретатора для выполнения.

Интерпретируемость программ на Haskell облегчает их отладку, написание и переносимость. Функциональная парадигма программирования, лежащая в основе этого языка, облегчает переформулирование математических выкладок, которые будут являться решением поставленной задачи, в программный код.

Более того, синтаксис и выразительность Haskell позволяют в некоторых случаях переписывать математические выражения в программный код «один-к-одному», без издержек на переформулирование в другие абстракции, что является обязательным при использовании императивных языков, таких, как C [27].

Интерпретатор и компилятор Haskell не поддерживают кросс-компиляцию, но сами скомпилированы для многих платформ, и являются приложениями с открытым исходным кодом, что позволяет переносить программы, написанные на Haskell, относительно простыми методами.

Для Haskell имеется обширная библиотека пакетов, включающая в себя пакет для черчения произвольных графиков функций Graphics.Rendering.Chart [20], а также пакет для поддержки истинно параллельных вычислений Control.Parallel [23] и пакет для поддержки одновременности выполнения Control.Concurrent [18]. Следует заметить, что зависимости, наличествующие для пакета Graphics.Rendering.Chart, значительно усложняют сборку приложения для ОС Windows, так как в этой операционной системе отсутствует стандартный удобный для использования из командной строки компилятор языка C.

Чистый параллелизм в Haskell сохраняет детерминизм операций, поэтому его включение в программный код не меняет результата.

С 2004 года традиционный компилятор Haskell, «GHC» поддерживает компиляцию программ, способных выполняться параллельно на многоядерных машинах. Для этого требуется компилировать с флагом `-threaded`, и запускать приложение с аргументами командной строки `+RTS -Nn`, где `n` — это количество ядер, на которые можно рассчитывать в текущей среде выполнения. Запущенное в таком режиме приложение будет пытаться распараллеливать выполнение участков кода, явно помеченных разработчиком как должны выполняться одновременно.

Также можно добиться повышения производительности приложения на языке Haskell, скомпилированного в параллельном режиме, явно указав размер кучи и стека, доступных для приложения. Увеличение кучи ведёт к уменьшению количества запусков сборщика мусора в случае требовательных к ресурсам вычислений, а каждый запуск сборщика мусора уменьшает производительность приложения.

Размер кучи указывается аргументом командной строки для приложения, например `-K100M` указывает использовать 100 МВ для стека, а `-H800MB` указывает использовать 800 МВ для кучи.

# Глава 2. Формулирование картины взрыва согласно ТЖМ

Следуя М. А. Лаврентьеву, рассмотрим задачу теории взрыва в импульсной постановке. В этом случае течение, возникающее под действием импульсного давления, является потенциальным. Если пренебречь сжимаемостью среды, её прочностными и пластическими свойствами, а также силами трения и гравитации, то мы придём к изучению движения идеальной несжимаемой невесомой жидкости. Грунт, на который действует заряд, моделируется, таким образом, средой, движущейся как идеальная несжимаемая жидкость при скоростях больше некоторой критической скорости  $v_0$  и является абсолютно твёрдым телом при скоростях, меньших  $v_0$ .

## 2.1 Постановка краевой задачи, эквивалентной исходной

Представим согласно твёрдо-жидкостной модели двумерный взрыв заглублённого заряда на двумерном евклидовом пространстве в декартовых координатах как плоское потенциальное установившееся течение идеальной невесомой жидкости на плоскости комплексного переменного  $z = x + iy$ . Ось ординат направлена по горизонтальной поверхности, ось абсцисс — линия симметрии и направлена вертикально вниз. В силу симметрии будем рассматривать только правую половину течения. Таким образом, рассматриваемая область течения ограничена криволинейным участком  $AD$ , прямолинейными участками  $AB$  и  $CD$  и линией тока  $CB$  (см. рис. 2.1).

Обозначим через  $\pi\gamma/2$  угол, образованный касательной к заряду и горизонтальной поверхностью в точке  $D$  (рис. 2.1). Довольно очевидно, что для того, чтобы картина взрыва соответствовала рис. 2.1, должно выполняться условие  $\gamma < 1$ . Введём область  $G_u$  вспомогательного переменного  $u = \xi + i\eta$  в виде прямоугольника  $0 < \xi < \pi/4$ ,  $0 < \eta < \pi|\tau|/4$  с соответствием точек, указанным на рис. 2.2.

Следует найти отображение  $z(u)$  такое, что оно конформно отображает прямоугольник  $ABCD$  из пространства  $u$  на область  $ABCD$  из пространства  $z$ .

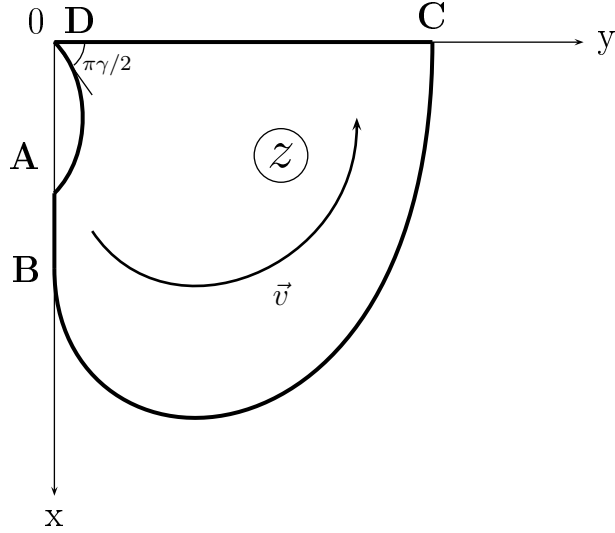


Рис. 2.1. Исходная схема модели

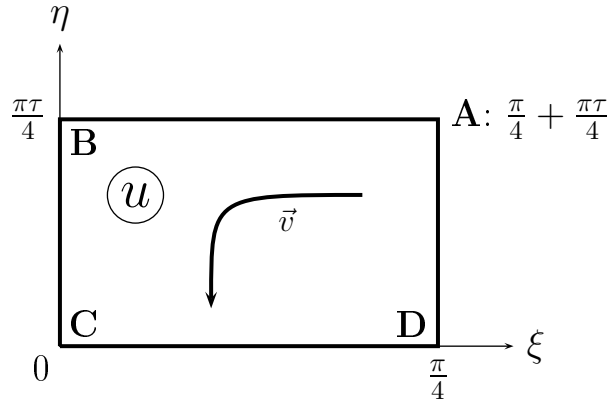


Рис. 2.2. Область дополнительного переменного  $u$

Параметр  $\tau$  задан так, чтобы  $\text{Im } \tau > 0$  и  $\text{Re } \tau = 0$ .

## 2.2 Вывод решения для краевой задачи

Нам достаточно получить  $dz/du$ , чтобы найти  $\forall z: z \in CB$ . Нужная граница будет найдена интегрированием по  $u$  на соответствующей стороне прямоугольника.

Представим  $dz/du$  в виде производной сложной функции:

$$\frac{dz}{du} = \frac{dz}{dw} \cdot \frac{dw}{du} \quad (2.1)$$

Выведем последовательно оба множителя этого произведения.

### 2.2.1 Комплексный потенциал на плоскости вспомогательного переменного

Комплексный потенциал  $w(u)$  над вспомогательным переменным  $u$  вводится следующим образом:

$$w(u) = \varphi(u) + i\psi(u) \quad (2.2)$$

Рассмотрим  $w(u)$  как точку в поле  $w = \varphi + i\psi$ . Нам известны из постановки задачи краевые условия для  $w(u)$ :

$$CD : \varphi = 0 \quad (2.3a)$$

$$AD : \varphi = \varphi_0 \quad (2.3b)$$

$$ABC : \psi = -\psi_0 \quad (2.3c)$$

Производная комплексного потенциала  $dw/du$  имеет в области  $G_u$  нуль первого порядка в точке  $B$  (нарушается конформность отображения) и полюс первого порядка в точке  $D$  (вихрь интенсивности  $4\varphi_0$ ). Как видно из рис. 2.1,  $dw/du$  чисто мнима на  $BCD$  и вещественна на  $BAD$ . Следовательно, её можно продолжить по принципу симметрии на всю плоскость. На основании теории эллиптических функций [16, стр. 350], найдём

$$\frac{dw}{du} = iN \frac{\vartheta_1\left(u - \frac{\pi\tau}{4}\right) \vartheta_1\left(u + \frac{\pi\tau}{4}\right) \vartheta_2\left(u - \frac{\pi\tau}{4}\right) \vartheta_2\left(u + \frac{\pi\tau}{4}\right)}{\vartheta_1\left(u - \frac{\pi}{4}\right) \vartheta_1\left(u + \frac{\pi}{4}\right) \vartheta_4\left(u - \frac{\pi}{4}\right) \vartheta_4\left(u + \frac{\pi}{4}\right)} \quad (2.4)$$

где  $N$  — вещественная положительная постоянная,  $\vartheta_k(u)$ ,  $k = 1, 2, 3, 4$  — тэта-функции для периодов  $\pi$  и  $\pi\tau$  [16, стр. 334].

Определяя из (2.4) вычет функции  $w(u)$  в точке  $D$ , выразим постоянную  $N$  через величину  $\varphi_0$ :

$$N = \frac{\varphi_0 M}{\pi}, \quad M = 2 \left( \frac{\vartheta_2(0)\vartheta_3(0)\vartheta_4(0)}{|\vartheta_1\left(\frac{\pi}{4} + \frac{\pi\tau}{4}\right)|^2} \right)^2 \quad (2.5)$$

### 2.2.2 Выражение комплексного потенциала через функцию Жуковского

Для того, чтобы выразить  $dz/dw$  из (2.1), введём функцию Жуковского [3, с. 30]:

$$\chi(u) = \ln \frac{dw}{v_0 dz} = \ln \frac{v}{v_0} - i\Theta \equiv r - i\Theta \quad (2.6)$$

где  $\Theta$  — угол наклона вектора скорости к оси  $Ox$ ,  $v$  — модуль скорости в точке  $u$ ,  $v_0$  — скорость на свободной поверхности  $CD$ .



Из рис. 2.1 получим граничные условия для  $\chi(u)$  на прямолинейных участках области течения:

$$AB : \operatorname{Im} \chi(u) \Big|_{u=\xi+\frac{\pi\tau}{4}} = 0 \quad (2.7a)$$

$$CD : \operatorname{Im} \chi(u) \Big|_{u=\xi} = -\pi \quad (2.7b)$$

$$CB : \operatorname{Re} \chi(u) \Big|_{u=i\eta} = 0 \quad (2.7c)$$

Для того, чтобы получить краевое условие на  $AD$ , сделаем следующее.

Пусть на криволинейной дуге  $AD$  задан  $\angle\beta$ , образованный касательной с осью абсцисс, при этом  $\beta = \beta(s)$ , где  $s$  — длина дуги, отсчитываемая от точки  $A$  и отнесённая к полной длине  $l$  дуги  $AD$ . Тогда безразмерная кривизна дуги  $\varkappa(\beta) = \frac{d\beta}{ds}$ , и, так как  $\beta = \Theta - \frac{\pi}{2}$ , то

$$\varkappa(\Theta) = \frac{d\Theta}{ds} = \frac{d\Theta}{du} \cdot \frac{du}{ds} = \frac{d\Theta}{du} \cdot \left| \frac{du}{dz} \right| \quad (2.8)$$

Теперь, учитывая (2.4), (2.5) и (2.8) получим условие для  $\chi(u)$  на  $AD$ :

$$\begin{aligned} \frac{d\Theta}{d\eta} &= \delta M \varkappa(\Theta) \left| \frac{dz}{dw} \cdot \frac{dw}{du} \right| = \\ &= \delta M \varkappa(\Theta) \left| F\left(\frac{\pi}{4} + i\eta\right) \right| e^{-r(\eta)} \end{aligned} \quad (2.9)$$

где  $\delta = \frac{\varphi_0}{v_0 l \pi}$  — безразмерный параметр.

### 2.2.3 Разложение функции Жуковского на прямолинейную часть и корректирующую функцию

Представим  $\chi(u)$  в следующем виде:

$$\chi(u) = \chi_0(u) - f(u) \quad (2.10)$$

$\chi_0(u)$  представляет собой функцию Жуковского для упрощённой задачи, изображённой на рис. 2.3, а функция  $f(u)$  является специальной функцией, которая модифицирует упрощённую картину, внося в неё изменения, необходимые для возврата к исходной картине явления.

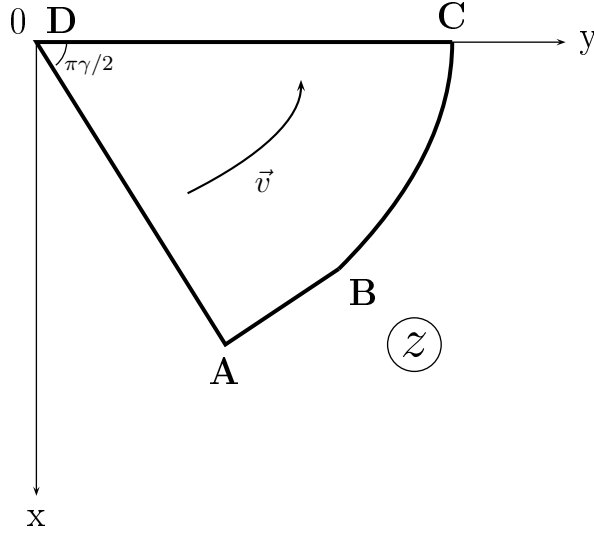


Рис. 2.3. Упрощённая схема задачи

Для  $\chi_0$  должны выполняться следующие граничные условия:

$$CD : \operatorname{Im} \chi_0(u) \big|_{u=\xi} = -\pi \quad (2.11a)$$

$$AD : \operatorname{Im} \chi_0(u) \big|_{u=\frac{\pi}{4}+i\eta} = -\pi \left(1 - \frac{\gamma}{2}\right) \quad (2.11b)$$

$$AB : \operatorname{Im} \chi_0(u) \big|_{u=\xi+\frac{\pi\tau}{4}} = -\pi \left(1 - \frac{\gamma}{2}\right) \quad (2.11c)$$

$$BC : \operatorname{Re} \chi_0(u) \big|_{u=i\eta} = 0 \quad (2.11d)$$

Следовательно,  $\chi_0(u)$  имеет в  $D$  логарифмическую особенность с вычетом  $-\gamma$ .

Краевые условия для корректирующей функции  $f(u)$  найдём позднее.

### Функция Жуковского для упрощённой задачи

Так как

$$\frac{d\chi_0}{du} = \frac{\partial \operatorname{Re} \chi_0}{\partial \xi} + i \frac{\partial \operatorname{Im} \chi_0}{\partial \xi} = \frac{\partial \operatorname{Im} \chi_0}{\partial \eta} - i \frac{\partial \operatorname{Re} \chi_0}{\partial \eta} \quad (2.12)$$

то  $\frac{d\chi_0}{du}$  чисто вещественна на  $CD$  и  $BA$  и чисто мнима на  $BC$  и  $AD$ . Значит, её можно продолжить на прямоугольник  $\xi \in [-\frac{\pi}{2}; \frac{\pi}{2}]$ ,  $\eta \in [-3\frac{\pi\tau}{4}, \frac{\pi\tau}{4}]$  соответственно рис. 2.4.

Функцию  $\chi_0$  будем искать в виде комбинации тета-функций (см. [16, с. 334]). Так как полученный прямоугольник по размерам совпадает с периодичностью тета-функций, то такое определение  $\chi_0$  автоматически определит её на всей плоскости.

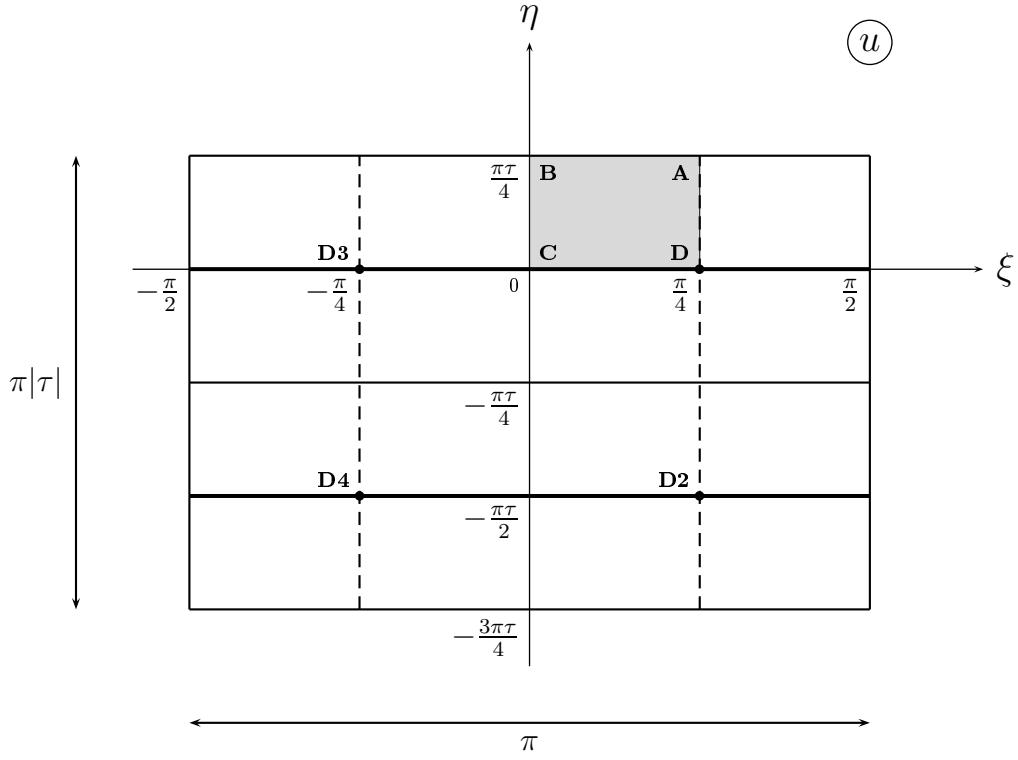


Рис. 2.4. Схема отображения  $\chi_0$  по принципу симметрии

Представим  $\chi_0$  в виде

$$\frac{d\chi_0}{du} = \sum_{k=1}^4 A_k \frac{d}{du} \ln \vartheta_1(u - b_k) \quad (2.13)$$

где  $A_k$  — это вычеты функции  $\chi_0$  в её полюсах  $b_k$ ,  $k = 1, 2, 3, 4$ .

Для точек  $D$  и  $D_2$  вычет равняется  $-\gamma$ . Для точек  $D_3$  и  $D_4$  вычет равняется  $\gamma$ . Их сумма равна нулю, что позволяет нам использовать (2.13):

$$\begin{aligned} \frac{d\chi_0}{du} = \gamma \frac{d}{du} & \left( \ln \vartheta_1 \left( u + \frac{\pi}{4} \right) + \ln \vartheta_1 \left( u + \frac{\pi}{4} - \frac{\pi\tau}{2} \right) - \right. \\ & \left. - \ln \vartheta_1 \left( u - \frac{\pi}{4} \right) + \ln \vartheta_1 \left( u - \frac{\pi}{4} - \frac{\pi\tau}{2} \right) \right) \end{aligned} \quad (2.14)$$

Так как

$$\begin{aligned} \vartheta_1 \left( u - \frac{\pi\tau}{2} \right) &= N \vartheta_4(u) \\ N &= -ie^{iu + \frac{1}{4}i\pi\tau} \end{aligned}$$

(см. рис. 2.5) то

$$\frac{d\chi_0}{du} = \gamma \frac{d}{du} \ln \frac{\vartheta_1 \left( u + \frac{\pi}{4} \right) \vartheta_4 \left( u + \frac{\pi}{4} \right)}{\vartheta_1 \left( u - \frac{\pi}{4} \right) \vartheta_4 \left( u - \frac{\pi}{4} \right)} \quad (2.15)$$

Откуда

$$\chi_0(u) = C + \gamma \ln \frac{\vartheta_1 \left( u + \frac{\pi}{4} \right) \vartheta_4 \left( u + \frac{\pi}{4} \right)}{\vartheta_1 \left( u - \frac{\pi}{4} \right) \vartheta_4 \left( u - \frac{\pi}{4} \right)} \quad (2.16)$$

$$\begin{array}{ccc}
\Theta_1(u) & \xrightarrow{u+\frac{\pi}{2}} & \Theta_2(u) \\
\uparrow u+\frac{\pi\tau}{2} & & \\
\Theta_4(u) & \xrightarrow{u+\frac{\pi}{2}} & \Theta_3(u)
\end{array}$$

Рис. 2.5. Соотношение между тета-функциями

Для определения константы интегрирования  $C$  воспользуемся крайними условиями (2.11) для  $\chi_0$ . Откуда получим конечное выражение для  $\chi_0$ :

$$\chi_0(u) = -i\pi(\gamma - 1) + \gamma \ln \frac{\vartheta_1\left(u + \frac{\pi}{4}\right) \vartheta_4\left(u + \frac{\pi}{4}\right)}{\vartheta_1\left(u - \frac{\pi}{4}\right) \vartheta_4\left(u - \frac{\pi}{4}\right)} \quad (2.17)$$

### Корректирующая функция $f(u)$

$f(u)$  — аналитическая функция, заключающая в себе отличия упрощённой схемы взрыва от данной изначально.

Граничные условия  $f(u)$  найдём, сравнивая граничные условия (2.7) для  $\chi(u)$  и (2.11) для  $\chi_0(u)$ :

$$AB : \operatorname{Im} f(u) \Big|_{u=\xi+\frac{\pi\tau}{4}} = 0 \quad (2.18a)$$

$$CD : \operatorname{Im} f(u) \Big|_{u=\xi} = 0 \quad (2.18b)$$

$$BC : \operatorname{Re} f(u) \Big|_{u=i\eta} = 0 \quad (2.18c)$$

$$AD : \frac{d}{d\eta} \operatorname{Im} f(u) \Big|_{u=\frac{\pi}{4}+i\eta} = \delta M \varkappa(\Theta) \left| F\left(\frac{\pi}{4} + i\eta\right) \right| e^{-r(\eta)} \quad (2.18d)$$

Для построения  $f(u)$  воспользуемся тем, что некоторые функции можно разложить в ряд Лорана.

Отобразим область  $u$  на полукольцо  $\rho \leq |\zeta| \leq 1$  с помощью следующей функции (см., напр., [17, с. 107]):

$$\zeta = e^{\frac{4u-\pi}{|\tau|}}, \quad \rho = e^{-\frac{\pi}{|\tau|}} \quad (2.19)$$

Рассмотрим функцию

$$p(\zeta) = f(u(\zeta)) + \ln \zeta \left(1 - \frac{\gamma}{2}\right) \quad (2.20)$$

Эта функция удовлетворяет граничному условию

$$\operatorname{Im} \zeta \Rightarrow \operatorname{Im} p(\zeta) = 0 \quad (2.21)$$

Отсюда следует, что её можно продолжить на всё кольцо и на кольце можно представить в виде ряда Лорана

$$p(\zeta) = \sum_{n=-\infty}^{+\infty} c_n \zeta^n \quad (2.22)$$

А тогда

$$f(u) = -\frac{(4u - \pi) \left(1 - \frac{\gamma}{2}\right)}{|\tau|} \sum_{n=-\infty}^{+\infty} c_n e^{\frac{4u - \pi}{|\tau|} n} \quad (2.23)$$

Воспользуемся условием (2.18с) для того, чтобы найти некоторые из коэффициентов  $c_n$ :

$$\operatorname{Re} f(i\eta) \Big|_{\eta \in [0; \frac{\pi\tau}{4}]} = c_0 + \sum_{n=1}^{+\infty} \left( c_n e^{-\frac{\pi n}{|\tau|}} + c_{-n} e^{\frac{\pi n}{|\tau|}} \right) \cos \frac{4\eta n}{|\tau|} + \frac{\pi \left(1 - \frac{\gamma}{2}\right)}{|\tau|} = 0 \quad (2.24)$$

Из (2.24) получим:

$$c_0 = -\frac{\pi}{|\tau|} \left(1 - \frac{\gamma}{2}\right), \quad c_{-n} = -c_n \rho^{2n}, \quad \rho = e^{-\frac{\pi}{|\tau|}} \quad (2.25)$$

Теперь воспользуемся условием (2.18d):

$$4 \sum_{n=1}^{+\infty} C_n \frac{n}{|\tau|} (1 - \rho^{2n}) \cos \frac{4n}{|\tau|} \eta - 4 \frac{1 - \frac{\gamma}{2}}{|\tau|} = \delta M \varkappa(\Theta) Q(\eta) e^{-\frac{\pi}{|\tau|} (1 - \frac{\gamma}{2})} \quad (2.26)$$

$$Q(\eta) = \frac{\left| \vartheta_2 \left( \frac{\pi}{4} + i\eta - \frac{\pi\tau}{4} \right) \vartheta_2 \left( \frac{\pi}{4} + i\eta + \frac{\pi\tau}{4} \right) \right|^2}{\left| \vartheta_2(i\eta) \vartheta_3(i\eta) \right|^{1+\gamma} \left| \vartheta_1(i\eta) \vartheta_4(i\eta) \right|^{1-\gamma}} e^{\sum_{n=1}^{+\infty} c_n (1 - \rho^{2n}) \cos \frac{4n}{|\tau|} \eta} \quad (2.27)$$

Интегрируя (2.26) по  $\eta$  в пределах от 0 до  $\frac{\pi\tau}{4}$  найдём условие, которому должны удовлетворять коэффициенты  $c_n$ :

$$-\pi \left(1 - \frac{\gamma}{2}\right) = \delta M e^{-\pi \frac{\pi}{|\tau|} (1 - \frac{\gamma}{2})} I_0, \quad (2.28)$$

$$I_0 = \int_0^{\frac{\pi|\tau|}{2}} \varkappa(\Theta) Q(\eta) d\eta. \quad (2.29)$$

Домножив (2.28) на  $\cos \frac{4n}{|\tau|} \eta$  и интегрируя в тех же пределах, выразим  $c_n$ :

$$c_n = -\frac{2 \left(1 - \frac{\gamma}{2}\right)}{n(1 + \rho^{2n})} \cdot \frac{I_n}{I_0}, \quad (2.30)$$

$$I_n = \int_0^{\frac{\pi|\tau|}{2}} \varkappa(\Theta) Q(\eta) \cos \frac{4n}{|\tau|} \eta d\eta. \quad (2.31)$$

Так как уравнение (2.30) является выражением  $c_n = A(c_1, c_2 \dots c_n)$ , где  $A$  — действительнзначная функция, то константы  $c_n$  будем находить в процессе решения задачи методом простой итерации [7, с. 150]. За начальное приближение будем брать вектор  $c_0, c_1 \dots c_n, n \in \mathbb{N}, n < \infty$ . Следует отметить, что значения коэффициентов  $c_n$  могут быть найдены любым другим численным методом, позволяющим решать системы нелинейных уравнений, например, методом коллокации [5, стр. 353].

## 2.2.4 Кривизна края заряда эллиптической формы

В данной работе рассматривается случай, при котором заряд, граница которого проходит по линии  $AD$ , имеет эллиптическую форму. Тогда кривизна  $\varkappa(\Theta)$ , участвующая в граничном условии для функции Жуковского (2.9), а отсюда — в выражении коэффициентов  $c_n$  (2.30), имеет вид:

$$\varkappa(\Theta) = \frac{(1 - \varepsilon^2 \sin^2 \Theta)^{3/2}}{p}, \quad p = \frac{a^2}{b^2}, \quad \varepsilon = \frac{\sqrt{b^2 - a^2}}{b} \quad (2.32)$$

где  $a, b$  — полуоси эллипса.

## 2.3 Вычисление координат точек на границе воронки взрыва

Итак, зная (2.1), (2.4), (2.6), (2.17) и (2.23) сформулируем полное выражение для искомой функции:

$$\frac{dz}{du} = \frac{N}{v_0} \frac{\vartheta_1(u - \frac{\pi\tau}{4}) \vartheta_1(u + \frac{\pi\tau}{4}) \vartheta_2(u - \frac{\pi\tau}{4}) \vartheta_2(u + \frac{\pi\tau}{4})}{[\vartheta_1(u - \frac{\pi}{4}) \vartheta_4(u - \frac{\pi}{4})]^{1-\gamma} [\vartheta_1(u + \frac{\pi}{4}) \vartheta_4(u + \frac{\pi}{4})]^{1+\gamma}} e^{i\pi(1-\gamma)} e^{f(u)} \quad (2.33)$$

где  $N$  определена выражением (2.5).

Зная величины  $N/v_0$ ,  $\tau$ ,  $\gamma$  и функцию  $f(u)$  (фактически, коэффициенты  $c_n$ , входящие в её выражение), можно найти все геометрические и гидродинамические элементы течения. Для решения поставленной задачи достаточно найти только некоторые геометрические характеристики.

Координаты точек на границе  $CB$  на плоскости переменного  $z$  будем определять последовательным интегрированием (2.33) численно. В качестве основной формулы для построения точек границы  $CB$  используем выражение

$$z(u_0) = \int_0^{u_0} \frac{dz}{du} du \quad (2.34)$$

Таким образом, для любой точки границы  $CB$ , координаты можно получить из формул (2.34) и (2.33), зная, что:

$$z(E)\Big|_{E \in CB} = \int_0^\varepsilon \frac{dz}{du}(i\eta)d\eta, \quad E = i\varepsilon, \quad \varepsilon \in \left[0; \frac{\pi\tau}{4}\right] \quad (2.35)$$

Точки, координаты которых получены выражением (2.35), являются точками, лежащими на границе воронки взрыва, что и требовалось найти в задаче. Следует заметить, что формула (2.34) позволяет найти, вообще говоря, любую точку из области  $z$ , а не только лежащую на границе  $CB$ .

# Глава 3. Численное решение задачи

Получив точное аналитическое решение поставленной задачи, мы выполнили первый этап работы. Теперь перенесём выведенные формулы в программный код Haskell для того, чтобы иметь возможность удостовериться в том, что модель работоспособна.

В этой главе мы последовательно перенесём все отдельные формулы, выведенные в главе 2, затем введём модуль для черчения графиков функций и, наконец, сведём всё воедино в цельном приложении. Следует учесть, что расчёт на параллельность выполнения должен быть интегрирован в программный код.

## 3.1 Представление параметров модели в программе

В модели используются следующие постоянные параметры, которые должны быть заданы извне:

- 1  $\phi_0$  — Значение потенциала течения на поверхности заряда;
- 2  $v_0$  — Критическое значение скорости течения на свободной поверхности;
- 3  $\tau$  — Параметр, требуемый для полного задания тета-функций;
- 4  $\alpha$  — Угол в точках  $A$  и  $D$  области 2.1 течения;
- 5  $a$  — Малый радиус кривизны эллипса криволинейного заряда;
- 6  $b$  — Большой радиус кривизны эллипса криволинейного заряда;
- 7  $c_n, \quad n \in [0; \infty)$  — Постоянные множители из разложения корректирующей функции (2.23)  $f(u)$  в ряд Лорана.

Кроме того, вычислительный характер решения поставленной задачи подразумевает использование ряда дополнительных параметров:

- 1  $n_{theta}$  — Число слагаемых в рядах (3.1) и (3.4), позволяющих вычислить значение тета-функций численно;



- 2  $n_{integral}$  — Частота разбиения отрезка интегрирования на сетку;
- 3  $n_{cn}$  — Количество постоянных множителей  $c_n$  в разложении  $f(u)$ , а, следовательно, и количество слагаемых в нём;
- 4  $\varepsilon$  — Желаемая точность при определении коэффициентов  $c_n$  численными методами.

Для хранения этих параметров в программе был определён тип данных, предназначенный для хранения всего массива параметров. Предполагается, что в процессе выполнения программы будет создан один экземпляр этого типа, который будет передаваться во все вспомогательные функции, участвующие в вычислениях.

```

1 data ModelParams = ModelParams {
2   tau      :: Double,    -- \tau, passed to Functions. Theta(qpar)
3   phi_0    :: Double,    -- \phi_0
4   v_0      :: Double,    -- v_0
5   alpha    :: Double,    -- \alpha
6   a        :: Double,    -- long ellipse radius
7   b        :: Double,    -- short ellipse radius
8   n_theta  :: Integer,    -- number of addends in \Theta_4 and \Theta_3
9   n_integral :: Integer,  -- number of elements in numeric integration
10  n_cn      :: Integer,    -- number of addends in f(u), essentially number of c_n
11  precision :: Double,    -- precision of calculating fucking c_n's
12  c_n       :: [Double]   -- list of c_n, it should be computed separately
13 } deriving (Show)

```

Тип `ModelParams` наследует класс `Show` для того, чтобы был простой способ визуализировать весь массив параметров. Использование типа `ModelParams` позволяет передавать в функции, участвующие в вычислениях, только один аргумент, который хранит параметры модели, вместо одиннадцати.

## 3.2 Представление аналитического решения задачи в программе

### 3.2.1 Программирование численного интегрирования

Для численного интегрирования используется метод трапеций [7, с. 86]. Вместо того, чтобы определять общую функцию интегрирования, которую вследствие особенностей интегралов от комплексного аргумента было бы крайне затруднительно сформулировать, были определены две различные функции, отличающиеся типами входных данных.

Функция `integrateX` используется для вычисления определённого интеграла в выражении (2.30). Интегрирование производится по действительной части переменного  $u$ .

```

1 integrateX :: (RealFloat a, Enum a) => (Complex a -> Complex a) ->
2           a -> a -> Integer -> Complex a
3 integrateX f a b n =
4   ((sum $ map f xvalues) + t) * (h :+ 0)
5   where
6     values = [a + h * fromInteger(nn) | nn <- [0..n]]
7     xvalues = map (:+ 0) values
8     t = (f (a :+ 0) + f (b :+ 0))/2
9     h = (b - a) / fromInteger(n)

```

Функция `integrateY` используется для интегрирования на конечном этапе вычислений 3.3, в процессе получения координат точек на области  $z$ . Интегрирование производится по мнимой части переменного  $u$ .

```

1 integrateY :: (RealFloat a, Enum a) => (Complex a -> Complex a) ->
2           a -> a -> Integer -> Complex a
3 integrateY f a b n =
4   ((sum $ map f yvalues) + t) * (h :+ 0)
5   where
6     values = [a + h * fromInteger(nn) | nn <- [0..n]]
7     yvalues = map ((:+ 0) values
8     t = (f (0 :+ a) + f (0 :+ b))/2
9     h = (b - a) / fromInteger(n)

```

### 3.2.2 Вычисление значений тета-функций

Согласно [16, с. 336],  $\Theta_4$  представляется в виде:

$$\Theta_4(u) = \Theta_4(u, q) = 1 + 2 \sum_{n=1}^{+\infty} (-1)^n q^{n^2} \cos(2nu) \quad (3.1)$$

Здесь  $q$  вычисляется следующим образом:

$$q = e^{\pi i \tau} : \quad |q| < 1 \quad (3.2)$$

$$\tau \text{ — const} : \quad \text{Im}(\tau) > 0 \quad (3.3)$$

В этой функции, таким образом, используется два параметра:  $n_{theta}$  и  $\tau$ . Дополнительный параметр  $q$  (3.2) вычисляется следующей вспомогательной функцией:

```

1 qpar tau = exp $ pi * tau * (0 :+ 1)

```

В качестве параметра `tau` функции `qpar` должен передаваться параметр модели  $\tau$ .

На Haskell определение (3.1) переводится так:

```

1 theta4 :: (RealFloat a) => Integer -> Complex a -> Complex a -> Complex a
2 theta4 n q u = 1 + 2 * sum thetaarg
3   where thetaarg = [(signfun nn) * (qfun q nn) * (cosfun u nn) | nn <- [1..n]]
4     signfun :: (RealFloat a) => Integer -> Complex a
5     signfun nn
6       | odd nn = -1
7       | otherwise = 1
8     qfun :: (RealFloat a) => Complex a -> Integer -> Complex a

```

```

9     qfun q nn = q ** fromInteger(nn) ** 2
10    cosfun :: (RealFloat a) => Complex a -> Integer -> Complex a
11    cosfun u nn = cos $ fromInteger(2 * nn) * u

```

Аналогично, функция  $\Theta_3$  задаётся следующим математическим выражением:

$$\Theta_3(u) = \Theta_3(u, q) = 1 + 2 \sum_{n=1}^{+\infty} q^{n^2} \cos(2nu) \quad (3.4)$$

Его перевод на Haskell выглядит так:

```

1 theta3 :: (RealFloat a) => Integer -> Complex a -> Complex a -> Complex a
2 theta3 n q u = 2 * sum thetaarg
3   where thetaarg = [(qfun q nn) * (cosfun u nn) | nn <- [1..n]]
4     qfun :: (RealFloat a) => Complex a -> Integer -> Complex a
5     qfun q nn = q ** (fromInteger nn) ** 2
6     cosfun :: (RealFloat a) => Complex a -> Integer -> Complex a
7     cosfun u nn = cos $ fromInteger(2 * nn) * u

```

В обеих функциях первый аргумент задаёт количество вычисляемых слагаемых из бесконечной суммы, которой представляются тета-функции. Для краткости введём две более коротких функции, которыми будем пользоваться в дальнейшем <sup>1</sup>:

```

1 theta3' param = theta3 (n_theta param) (qpar (0 :+ tau param))
2 theta4' param = theta4 (n_theta param) (qpar (0 :+ tau param))

```

### 3.2.3 Вычисление значений функции $dw/du$

Производная комплексного потенциала от вспомогательного переменного  $dw/du$  является константной функцией, и переводится на Haskell следующим образом:

```

1 dwdu :: ModelParams -> Double
2 dwdu param = ((negate 2) * phi_0') / (pi * tau')
3   where phi_0' = phi_0 param
4         tau' = tau param

```

Её единственный входной аргумент — массив параметров `param`.

### 3.2.4 Вычисление значений функции Жуковского $\chi(u)$

Функция  $\chi(u)$  (2.6) переводится в следующий код на Haskell:

```

1 chi :: ModelParams -> Complex Double -> Complex Double
2 chi param u = (chi_0 param u) + (f_corr param u)

```

Функция  $\chi_0(u)$  (2.17) переводится в

---

<sup>1</sup>Здесь и далее аргумент «param» является переменной, хранящей значения всех параметров модели.

```

1 chi_0 :: ModelParams -> Complex Double -> Complex Double
2 chi_0 param u = c_chi_0 + const_coeff * log (divident / divisor)
3   where const_coeff = ((pi / 2) * (1 + alpha')) :+ 0
4         divident   = (theta3' param 0) * (theta4' param u)
5         divisor    = (theta3' param u) * (theta4' param 0)
6         alpha'     = alpha param

```

Параметр  $\Theta(u) = \text{Im } \chi(u)$  будем получать естественным образом, вычисляя функцию  $\chi(u)$  и определяя мнимую часть полученного комплексного числа:

```

1 imagPart(chi param u)

```

### 3.2.5 Вычисление значений корректирующей функции $f(u)$

Следующим образом выглядит функция Haskell, реализующая (2.23):

```

1 f_corr :: ModelParams -> Complex Double -> Complex Double
2 -- Clear functional implementation
3 f_corr param u = foldl (+) (c0 :+ 0) (f_arg u clist)
4   where f_arg u clist = map (\ (n, cn) -> (cn :+ 0) * (exp' u (i' n) - exp' u (negate (i' n)))) clist
5         i' n       = (fromInteger n) :+ 0
6         clist      = zip [1..(pred $ n_cn param)] cn'
7         exp' u n    = exp $ 2 * (0 :+ 1) * n
8         cn'        = tail $ c_n param
9         c0         = head $ c_n param

```

Для корректной работы эта функция должна получить из массива данных `param` список коэффициентов  $c_n$ .

### 3.2.6 Вычисление коэффициентов $c_n$ в разложении $f(u)$ в ряд

Как было сказано в 2.2.3, коэффициенты  $c_n$ , необходимые для определения  $f(u)$ , требуется вычислить отдельно, до того, как заниматься вычислением координат точек на границе воронки взрыва.

Для вычисления  $c_n$  определим следующую функцию, которая последовательно будет уточнять  $c_n$ , до тех пор, пока не будет достигнута требуемая точность.

```

1 calc_cn param
2 | has_error param new_cn = param {c_n = new_cn}
3 | otherwise = calc_cn (param {c_n = new_cn})
4   where
5     has_error param new_cn = foldl (&&) True $ map (calc_error) (zip cn' new_cn)
6     calc_error (x1, x2)   = (((x2 - x1) ** 2) / abs (2 * x1 - x2)) < precision'
7     new_cn                = map (transform') [0..n]
8     transform' n          = s_fun param n * (integrate (transform n) 0 (pi/2) ni')
9     transform n x         = curvature param (x :+ eta)
10                          * exp ( - realPart(chi param (x :+ eta)))
11                          * cos (2 * x * fromInteger n)
12     eta                   = (pi * tau') / 2

```

```

13     tau'      = tau param
14     precision' = precision param
15     ni'       = n_integral param
16     cn'       = c_n param
17     n'        = n_cn param

```

calc\_cn — рекурсивная функция со следующим условием останова:

$$\frac{(x_t - x_{t-1})^2}{|2x_{t-1} - x_t - x_{t-2}|} < \varepsilon \quad (3.5)$$

где  $\varepsilon$  есть заранее заданная константа, определяющая желаемую точность вычислений.

На каждой итерации уточнения вектора коэффициентов  $c_n$  функция calc\_cn обновляет содержимое поля c\_n в блоке данных param. При достижении условия останова вектор c\_n можно использовать в численном решении поставленной в данной работе задачи.

### 3.2.7 Программирование отображения значений дополнительного переменного на область исходного переменного

Собственно, конечная цель раздела 2, функция  $dz/du$ , определённая выражением (2.33), переводится на Haskell следующим образом:

```

1 dzdu :: ModelParams -> Complex Double -> Complex Double
2 dzdu param u = ( ((dwdu param) / v') :+ 0 ) * exp ( chi param u )
3 where v' = v_0 param

```

Все остальные функции уже были определены ранее.

## 3.3 Программирование вычисления координат точек на границе воронки взрыва

Как следует из (2.35), точки на границе  $CD$  в области исходного переменного  $z$  можно найти интегрированием функции  $dz/du$  (2.33) по линии  $CD$  области вспомогательного переменного  $u$ . Это выполняется при помощи следующей функции Haskell:

```

1 zlist :: ModelParams -> [Complex Double]
2 zlist param = map (z param) [a', a' + h .. b']
3 where
4     z param e = integrateY (dzdu param) 0 e n'
5     h = (b' - a') / fromInteger n'
6     n' = n_integral param
7     a' = 0
8     b' = ( pi * (tau param) ) / 2

```

`zlist` отображает массив точек  $\xi + i\frac{\pi\tau}{4}$ ,  $\xi \in [0; \frac{\pi}{4}]$  в точки  $x + iy$  последовательным интегрированием. Получив координаты этих точек, мы решим задачу.

### 3.4 Программный пакет для вывода графиков функций средствами Haskell

Для вывода графиков будет использоваться пакет расширения для Haskell под общим названием `Chart` (см. [20], [22]). `Chart` поддерживает вывод непосредственно в файл с растровым изображением а также черчение на канве окна `GTK+`.

Процедура `outputData`, выполняющая вывод графика по заданным точкам, определена следующим образом:

```

1 outputData datalist = do
2   renderableToWindow (toRenderable (chart datalist)) 640 480
3   renderableToPNGFile (toRenderable (chart datalist)) 640 480 "test.png"
4
5 chart :: [(Double, Double)] -> Layout1 Double Double
6 chart datalist = layout
7   where
8     myPlot = plot_lines_values ^= [datalist]
9             $ plot_lines_style .> line_color ^= opaque blue
10            $ plot_lines_title ^= "test"
11            $ defaultPlotLines
12    layout = layout1_title ^= "Graphics.Rendering.Chart"
13            $ layout1_plots ^= [Left (toPlot myPlot)]
14            $ defaultLayout1

```

Функция `chart` нужна для удобства настройки оформления графика. Через аргумент `datalist` функция получает набор точек в виде списка пар  $(x, y)$ .

### 3.5 Сборка цельного приложения с учётом многопоточности

Все функции, определённые в разделе 3.2, завернём в модуль под названием `BlastModel` (см. приложение А), за исключением функций вычисления значений тета-функций. Тета-функции вынесем в модуль под названием `Theta` (см. приложение В).

В главном модуле находится программный код для черчения графиков, определённый в подразделе 3.4, и точка входа программы.

Точка входа программы, функция `main`, состоит в целом из четырёх шагов:

- 1 получение параметров модели от пользователя;

- 2 уточнение коэффициентов  $c_n$  (это необходимый шаг, который, увы, приходится совершать именно на этом этапе выполнения программы);
- 3 вычисление координат точек на границе воронки взрыва;
- 4 черчение кривой по полученным координатам.

Все эти шаги должны быть выполнены последовательно, поэтому никакой параллельности на этом уровне абстракции не предполагается. Вот как выглядит точка входа для всей программы в целом:

```

1 main = do
2   putStrLn "Greetings! ~ This is blast model, based on solid-liquid model of Lavrentyev and Kotlyar."
3   putStrLn "First, we will define model parameters."
4   par <- getModelParameters
5   putStrLn "Second, we compute the parameters c_n needed for computations"
6   -- let par_corrected = calc_cn par
7   putStrLn "We will now compute points on the edge of blast."
8   let pointlist = computePoints par
9   putStrLn "And at last, we print the data to the file for a Gnuplot"
10  outputData pointlist
11  putStrLn "All done, good bye."

```

Для получения от пользователя параметров была выделена вспомогательная функция `getModelParameters` следующего вида:

```

1 getModelParameter parname = do
2   putStrLn $ "Value of " ++ parname
3   getLine
4
5 getModelParameters = do
6   phi_0' <- getModelParameter "phi_0"
7   v_0' <- getModelParameter "v_0"
8   tau' <- getModelParameter "|tau|"
9   alpha' <- getModelParameter "alpha"
10  a' <- getModelParameter "a"
11  b' <- getModelParameter "b"
12  n_theta' <- getModelParameter "n_theta"
13  n_integral' <- getModelParameter "n_integral"
14  n_cn' <- getModelParameter "n_cn"
15  precision' <- getModelParameter "precision"
16  return ModelParams{
17    phi_0 = read phi_0',
18    v_0 = read v_0',
19    tau = read tau',
20    alpha = read alpha',
21    a = read a',
22    b = read b',
23    n_theta = read n_theta',
24    n_integral = read n_integral',
25    n_cn = read n_cn',
26    precision = read precision',
27    c_n = take n_cn' $ repeat 2
28  }

```

Для уточнения значений  $c_n$  используется определённая в `BlastModel` функция `calc_cn`, которая подробно описана в разделе 3.2.6.

Для вычисления координат точек на границе воронки определена дополнительная функция `computePoints` следующего вида:

```
1 computePoints par = zip xlist ylist
2   where n' = fromInteger(n_integral par)
3         ylist = map (\x -> (x - 1) ** 2 - (n' / 2)) xlist
4         xlist = [0..n']
```

Для вывода данных, которые были сгенерированы функцией `computePoints`, используется функция `outputData`, описанная в разделе 3.4.

Запуск приложения следует осуществлять из командной строки. В качестве аргументов командной строки следует передавать параметры `+RTS -N2` (где 2 — это количество ядер). Все параметры модели программа запросит самостоятельно, после чего выполнит предусмотренные вычисления и выдаст график в отдельном окне и в файл PNG в рабочем каталоге.

Полный текст программы находится в приложении. Содержимое исходного кода главного модуля программы расположен в приложении С.



# Глава 4. Анализ полученных результатов

## 4.1 Результаты вычислений и их интерпретация

Для разработанной программы был сформирован ряд тестов, для массового вывода графиков с вариацией того или иного параметра модели. Было получено более 150 различных графиков, после чего дальнейшие эксперименты были признаны несущественными для оценки работы.

В таблице 4.1 приведены сведения о параметрах, использованных в некоторых проверочных запусках. Параметры точности оставались неизменными: интегрирование производилось по сетке частотой в 50 отрезков, тета-функции представлялись рядами из 25 элементов, и количество вычисляемых  $c_n$  было равно 30.

График на рис.	$\varphi_0$	$v_0$	$\tau$	$\alpha$	$a$	$b$
4.1	100	0.2	0.7	0.7	1	5
4.2	100	0.2	0.6	0.7	1	5
4.3	100	0.2	0.7	0.49	1	5

Таблица 4.1. Параметры трёх различных тестов черчения границы воронки взрыва. Точность вычислений не менялась

Было замечено, что параметры  $\varphi_0$  и  $v_0$  влияют только на масштаб чертежа. При увеличении  $\varphi_0$  чертёж увеличивается (граница отдаляется от начала координат), а при увеличении  $v_0$  — уменьшается (граница приближается к началу координат). Эти результаты естественным образом следуют из построения функции (2.33), где эти параметры выступают в качестве коэффициентов.

Параметры  $a$  и  $b$ , представляющие собой длины радиусов эллипса, который является формой заряда, оказывают также масштабирующее влияние на чертёж. При этом при задании какого-либо  $b$  так, что  $b < a$  программа начинает выдавать векторы из ошибочных значений «NaN» при вычислении коэффициентов  $c_n$  для выражения  $f(u)$ .

Параметры  $|\tau|$  и  $\gamma$  оказывают намного более существенное влияние на чертёж. Оба этих параметра искажают и поворачивают границу, изображённую на графике, причём весьма сложным образом. Для определения

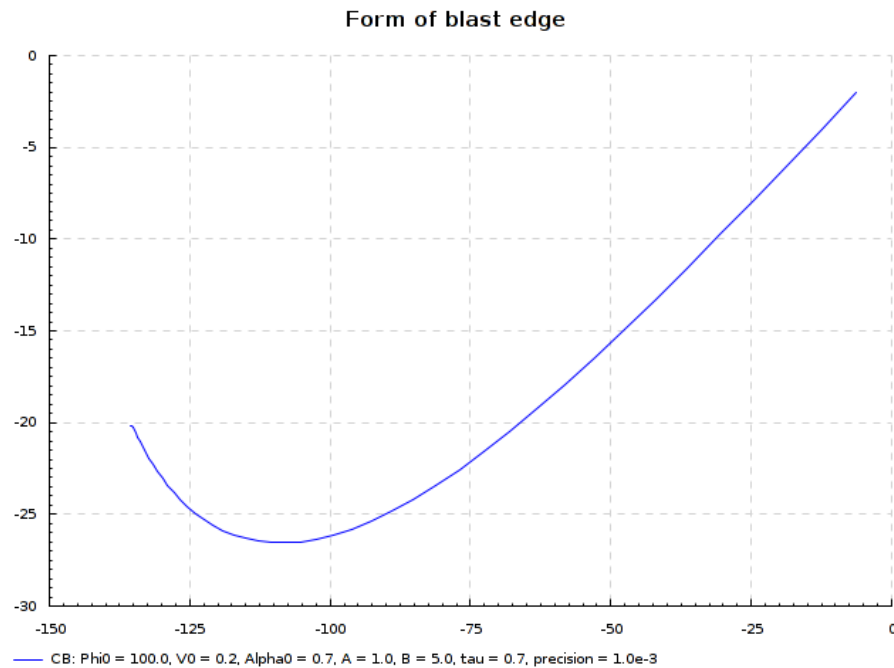


Рис. 4.1. Чертёж границы воронки взрыва при первом тестовом наборе параметров

особенностей влияния  $\gamma$  и  $|\tau|$  на расположение и форму изображения границы воронки взрыва следует провести дополнительное исследование.

В целом интерпретация полученных результатов затруднена. На фоне аналитически верных математических формул, лежащих в основе производимых вычислений, не поддающиеся расшифровке производимые программой графики представляют собой проблему для дальнейшего применения результатов данной работы.

Следует отметить, что из-за особенностей численной реализации вычисления значений тета-функций, в случае задания более чем 25 слагаемых в ряду, представляющем тета-функции (иными словами, в случае, когда  $n_{theta} > 25$ ), тета-функции начинают расходиться и их вычисление крайне замедляется. Это происходит из-за накопления ошибки. Уже при  $n_{theta} > 10$  параметр  $q$ , входящий в разложение тета-функций, начинает возводиться в степень  $n^2$ , где  $n > 10$ , а при условии, что  $|q| < 1$ , получается, что все слагаемые в разложении тета-функции, после десятого становятся исчезающе малы.

## 4.2 Оценка производительности

Вычисления производились на AMD Athlon 64 X2 Dual Core 5000+ 1.96 GB оперативной памяти. Сразу же следует заметить, что в случае компиляции программы производительность возрастает на 200%. В

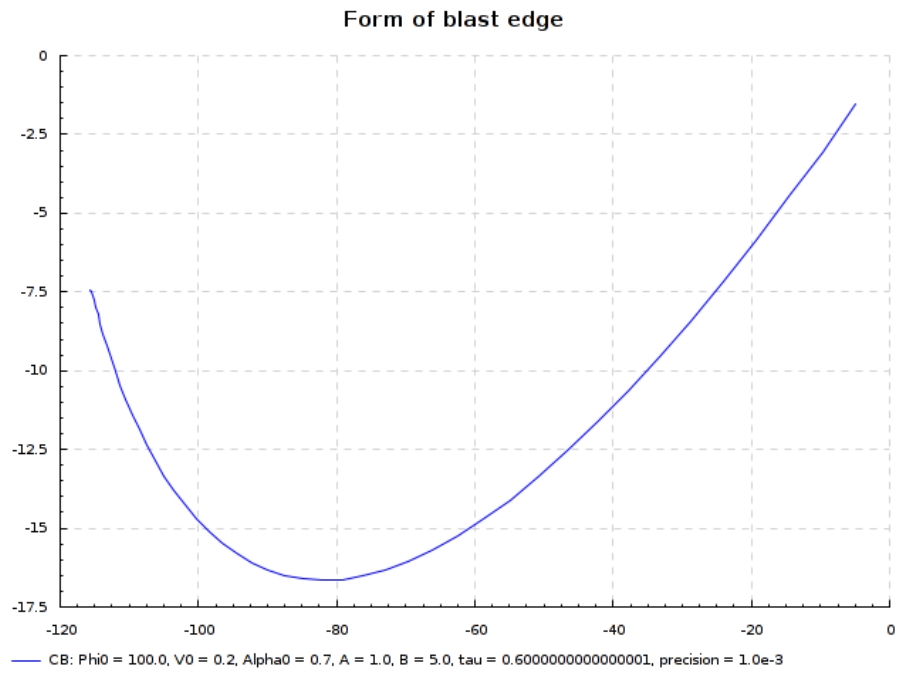


Рис. 4.2. Чертёж границы воронки взрыва при втором тестовом наборе параметров

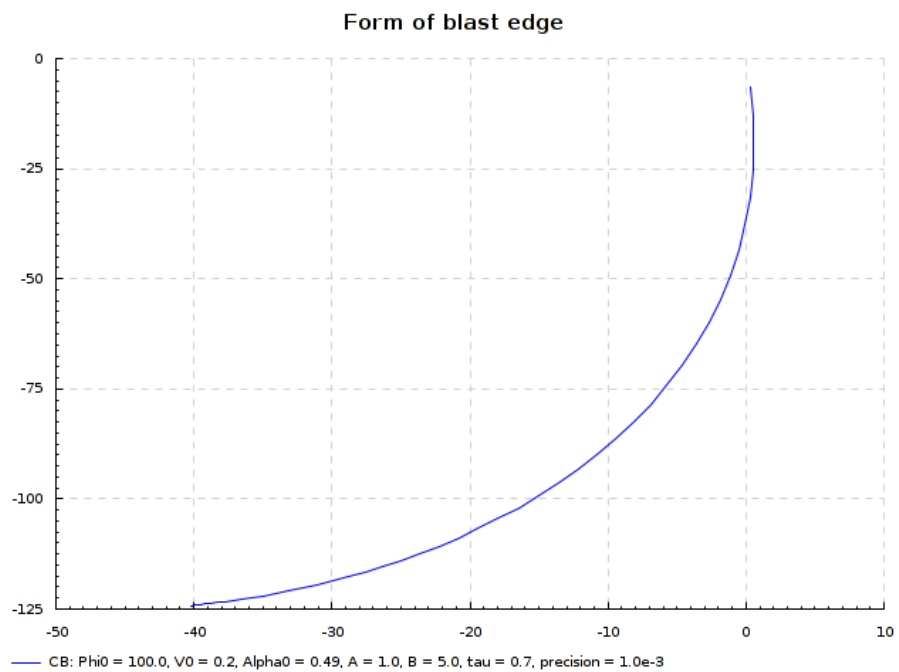


Рис. 4.3. Чертёж границы воронки взрыва при третьем тестовом наборе параметров

среднем время выполнения программы составляет 40 секунд плюс-минус пять при любом наборе входных параметров.

Ошибка, связанная с количеством элементов, представляющих тета-функции, проявляется и на производительности. В случае превышения количества элементов дальше 25 производительность программы падает.

На одну итерацию вычисления  $c_n$  на тестовом компьютере требуется от 5.9 до 6.9 секунд. На вычисление координат 50 точек, например, для постройки рисунка одной из границ области  $z(u)$ , требуется 7 секунд. Эти сведения по времени выполнения актуальны для скомпилированного приложения, выполняемого в среде GNU \Linux.

Внедрение техник полуавтоматического распараллеливания, предоставляемых компилятором GHC, дало противоречивые результаты. При внедрении какого-либо кода, предназначенного для указания на параллельные вычисления, в программу, производительность конечного приложения падает на 20%. Данное наблюдение распространяется на любые вычисления, проводимые программой.

При наличии в программе кода для осуществления параллельных вычислений и использовании аргументов командной строки `+RTS -N2` во время запуска программы время выполнения увеличивается. При семантически однопоточном коде и использовании одного только указания `+RTS -N2` производительность тоже падает, хотя и менее значительно.

Такое поведение приложения связано, очевидно, с тем, что в операционной системе, в которой выполняется приложение, работает свой собственный механизм распараллеливания задач. Это предположение подтверждается наблюдением за нагрузкой процессора сторонними приложениями.

Применение методики увеличения объёма кучи и стека, выделяемых на программу, с целью уменьшения количества вызовов сборщика мусора, также понижает производительность. Следует, однако, отметить при этом, что количество запусков сборщика мусора действительно уменьшается. Был произведён эксперимент с запуском приложения, выделив ему 100 МВ для стека и 500 МВ для кучи. Время, проведённое за сборкой мусора, уменьшилось с 2 сек, получаемых при запуске с параметрами по умолчанию, до 0.2 сек. При этом суммарное время выполнения программы увеличилось.

Определённо, можно сделать вывод о том, что, кроме, собственно, применения техник распараллеливания, а тем более, таких специфичных, как предоставляемых средой выполнения Haskell, требуется ещё дополнительно проводить исследования для выявления участков кода, распараллеливание которых действительно приведёт к повышению производительности. В остальных случаях компиляция с оптимизацией, предоставляемая GHC, позволяет добиться наилучшей производительности без применения каких-либо дополнительных техник.

# Заключение

Задача была решена полностью.

- 1 В качестве первого этапа работы была построена и решена краевая задача, позволяющая описать течение, эквивалентное процессу взрыва согласно ТЖМ.
- 2 Сформулированная на первом этапе математическая модель взрыва была переформулирована на язык Haskell с расчётом на технику многопоточности.

Следует отметить крайнюю лёгкость написания программ на языке Haskell, по сравнению с C — традиционным языком для написания программ, занимающихся сложными вычислениями. В некоторых случаях определение подпрограммы на Haskell с точностью до обозначений напоминает определение соответствующей математической функции.

Разработано консольное приложение для ОС GNU/Linux, позволяющее произвольно задавать параметры модели и получать чертежи свободной поверхности, соответствующей заданным параметрам. В качестве дополнения для облегчения анализа реализована возможность массового вывода чертежей, с варьированием заранее заданного параметра. При запуске возможно задать количество доступных на аппаратной базе ядер для распараллеливания вычислений. Приложение переносимо на другие операционные системы, при условии, что оно должно быть предварительно скомпилировано перед использованием.

Сформулированная модель может быть с учётом её недостатков, отмеченных в разделе 4.1, использована для расчётов реальных воронок от взрывов заглублённых зарядов. Полученные формулы достаточно общие, чтобы использовать их для моделирования взрывов зарядов любой формы, не ограничиваясь эллипсоидами. В перспективе видится возможность вывода решения ещё более общей задачи, в различных постановках.

Реализованная программа может быть с учётом особенностей работы, выявленных в разделе 4.2, дополнена и развита до полноценного приложения, пригодного для использования на местах конкретными специалистами по взрывотехнике.

Полученная программа может быть использована несколькими способами:

- 1 для реальных расчётов воронок от взрывов заглублённых зарядов эллиптической формы;

2 для дальнейших исследований в области моделирования взрывов при помощи ТЖМ;

3 в качестве примера для студентов младших курсов по дисциплине «параллельные вычисления».

О данной работе был сделан доклад [14] на межрегиональной научно-практической конференции студентов, аспирантов и молодых учёных «III Камские чтения», занявший 2 место в секции «Естественные науки».

Представляется целесообразным продолжить работу по данной теме. Полученные в рамках решения данной задачи результаты подтверждают необходимость дальнейших исследований. Также заметим, что характерные особенности решения задачи безоговорочно требуют применения вычислительной техники для получения необходимого результата, поэтому данная работа в целом находится на стыке двух наук: математической физики и инженерии программного обеспечения, представляя собой синтетическую задачу, с образовательной, прикладной и научной точек зрения весьма полезную.

# Список литературы

1. *Броуд, Г.* Расчёты взрывов на ЭВМ. Подземные взрывы / Г. Броуд. — М.: Мир, 1975. — 163 с.
2. *Власов, О. Е.* Основы теории действия взрыва / О. Е. Власов. — М.: Изд-во ВИА, 1957.
3. *Гуревич, М. И.* Теория струй идеальной жидкости / М. И. Гуревич. — Наука, 1979.
4. Действие ядерного взрыва. Сб. переводов / Под ред. С. С. Григорян, Г. С. Шапиро. — М.: Мир, 1971. — 312 с.
5. *Демидович, Б. П.* Численные методы анализа. Приближение функций, дифференциальные и интегральные уравнения / Б. П. Демидович, И. А. Марон. — 2 изд. — М.: Физматгиз, 1963.
6. *Ильинский, Н. Б.* Краевые задачи теории взрыва / Н. Б. Ильинский, А. В. Поташёв. — Казань: Изд-во Казанского университета, 1986.
7. *Калиткин, Н. Н.* Численные методы / Н. Н. Калиткин. — М.: Главная редакция физико-математической литературы изд-ва «Наука», 1978.
8. *Котляр, Л. М.* О взрыве на поверхности грунта линейно-распределённого заряда криволинейной формы / Л. М. Котляр // *Журнал прикладной механики и технической физики.* — 1975. — № 1. — С. 187–191.
9. *Кузнецов, В. М.* О форме воронки выброса при взрыве на поверхности грунта / В. М. Кузнецов // *ПМТФ.* — 1962. — № 3. — С. 152–156.
10. *Кузнецов, В. М.* Математические модели взрывного дела / В. М. Кузнецов. — Новосибирск: Наука, 1977. — 264 с.
11. *Лаврентьев, М. А.* Вариационные методы краевых задач для систем уравнений эллиптического типа / М. А. Лаврентьев. — М.: Издательство АН СССР, 1962.
12. *Мартынюк, П. А.* О форме воронки выброса при взрыве в грунте шнурового заряда / П. А. Мартынюк // *Народно-хозяйственное использование взрыва.* — Новосибирск: СО АН СССР, 1965. — С. 3–9.

13. *Муйземнек, А. Ю.* Математическое моделирование процессов удара и взрыва в программе Ls-dyna: учебное пособие / А. Ю. Муйземнек, А. А. Богач. — Пенза: Информационно-издательский центр ПГУ, 2005. — 106 с.
14. *Сафронов, М. А.* Задача о взрыве криволинейного заглублённого заряда / М. А. Сафронов // III Камские чтения: межрегиональная научно-практическая конференция. В 3-х частях. — Т. 3. — Набережные Челны: 2011.
15. Технические правила ведения взрывных работ на дневной поверхности. — М.: Недра, 1972. — 240 с.
16. *Уиттекер, Э. Т.* Курс современного анализа: В 2 т. / Э. Т. Уиттекер, Д. Н. Ватсон. — М.: Физматгиз, 1963. — Т. 2: Трансцендентные функции.
17. *Шабат, Б. В.* Функции комплексного переменного и некоторые их приложения / Б. В. Шабат, Б. А. Фукс. — Наука, 1964.
18. Control.concurrent. — HackageDB The Haskell Packages Database. — 2010 (проверялась 25 апреля 2011). — [В Сети]. <http://www.haskell.org/ghc/docs/latest/html/libraries/base-4.3.1.0/Control-Concurrent.html>.
19. *Dean, J.* Mapreduce: Simplified data processing on large clusters / J. Dean, S. Ghemawat // OSDI'04: Sixth Symposium on Operating System Design and Implementation. — San Francisco: 2004.
20. *Docker, T.* Haskell charts. — Haskell Charts wiki. — 2010 (проверялась 25 апреля 2011). — [В Сети]. [http://http://dockerz.net/twd/HaskellCharts](http://dockerz.net/twd/HaskellCharts).
21. Erlang programming language. — Erlang web node. — 2011 (проверялась 25 апреля 2011). — [В Сети]. <http://www.erlang.org/>.
22. Hackagedb: chart-0.14. — HackageDB The Haskell Packages Database. — 2010 (проверялась 25 апреля 2011). — [В Сети]. <http://hackage.haskell.org/package/Chart>.
23. Hackagedb: parallel-3.1.0.1. — HackageDB The Haskell Packages Database. — 2010 (проверялась 25 апреля 2011). — [В Сети]. <http://hackage.haskell.org/package/parallel>.
24. The haskell programming language. — HaskellWiki. — 2011 (проверялась 27 апреля 2011). — [В Сети]. <http://haskell.org/haskellwiki/Haskell>.



25. *Hennessy, J. L.* Computer architecture: a quantitative approach / J. L. Hennessy, D. A. Patterson. — 4th edition. — USA: Elsevier, Inc, 2007. — 704 pp.
26. *Jones, S. P.* Beautiful Concurrency / S. P. Jones // Beautiful Code / Ed. by G. Wilson; Microsoft Research, Cambridge. — O'Reilly, 2007.
27. *Kernighan, B.* The C programming language / B. Kernighan. — Englewood Cliffs, N.J: Prentice Hall, 1988.

# Приложения

## A BlastModel.hs

```
1 module BlastModel where
2 -----
3 -- Модель взрыва заглублённого в грунт заряда криволинейной формы.
4 -- Позволяет вычислить границу воронки взрыва на основании ряда параметров.
5 -- Взрыв представляется как потенциальное течение струи идеальной жидкости, а воронка взрыва
   -- как линия тока на течении, вдоль которой скорость течения равна некоторому
   "критическому" значению.
6 -----
7
8 -- Мы используем параллельность!
9 import Control.Parallel.Strategies
10 import Control.Parallel
11
12 -- Наша модель построена на комплекснозначных функциях комплексного аргумента
13 import Data.Complex
14
15 -- Импортируем самописные тета-функции
16 import Theta
17
18 -- Параметры модели будем передавать объектом следующего типа:
19 data ModelParams = ModelParams {
20     tau      :: Double,  -- параметр, доопределяет тета-функции
21     phi_0    :: Double,  -- начальное значение потенциала течения
22     v_0      :: Double,  -- критическое значение скорости, скорость течения равна v_0 на
   границе воронки взрыва
23     alpha    :: Double,  -- угол, с которым граница заряда наклонена к оси абсцисс
24     a        :: Double,  -- заряд предполагается эллиптическим, поэтому это больший
   радиус заряда
25     b        :: Double,  -- заряд предполагается эллиптическим, поэтому это меньший
   радиус заряда
26     n_theta  :: Integer, -- количество слагаемых в ряду, представляющем тета-функцию (т.
   е., это, по сути, точность вычислений тета-функций)
27     n_integral :: Integer, -- частота разбиения отрезка интегрирования
28     n_cn     :: Integer,  -- количество коэффициентов cN в разбиении f(u) в ряд, т. е.,
   заодно и точность вычисления f(u)
29     precision :: Double,  -- точность вычисления cN методом простых итераций. Да и вообще
   "точность" там, где она может быть нужна
30     c_n      :: [Double] -- список коэффициентов cN в разбиении f(u) в ряд. При задании
   параметров равны начальному приближению, потом уточняются.
31 -- Не существует c_n !! 0, параметр c0 задаётся в формуле, и здесь не хранится и не обновляется.
32 } deriving (Show)
33
34 -----
35 -- 0. Различные хелперы для упрощения работы BEGIN
36
37 -- Переобозначения тета-функций в более удобоваримый вид
38 theta1' param = theta1 (n_theta param) (qpar (0 :+ tau param))
39 theta2' param = theta2 (n_theta param) (qpar (0 :+ tau param))
40 theta3' param = theta3 (n_theta param) (qpar (0 :+ tau param))
41 theta4' param = theta4 (n_theta param) (qpar (0 :+ tau param))
```

```

42
43 -- Параметры "по умолчанию", для упрощения отладки
44 null_parameters = ModelParams {
45     tau      = 0.7,
46     phi_0    = 100,
47     v_0      = 0.2,
48     alpha    = 0.25,
49     a        = 2,
50     b        = 5,
51     n_theta  = 25, -- you'll never need more, 'cause there's an  $q ** n\_theta ** 2$  in definition of
                     both theta-functions with  $q < 1$ 
52     n_integral = 50,
53     n_cn     = 30,
54     precision = 0.001,
55     c_n      = take 30 $ repeat 0
56 }
57
58 -- Функция для удобства печати коэффициентов  $cN$ 
59 printCnList :: ModelParams -> IO()
60 printCnList param = do
61     let cnlist = c_n param
62         nlist  = [1..(n_cn param)]
63         cnnstr = \(n, cn) -> "n" ++ (show n) ++ ": " ++ (show cn)
64     mapM print $ map cnnstr (zip nlist cnlist)
65     return ()
66
67 -- Более-менее удобное изменение параметров
68 renew_params param (phi_0', v_0', tau', alpha', a', b') =
69     param {phi_0 = phi_0', v_0 = v_0', tau = tau', a = a', b = b'}
70
71 -- 0. Различные хелперы для упрощения работы END
72 -----
73
74 -----
75 -- 1. Вычисление координат точек на границе воронки взрыва BEGIN
76
77 -- Функция для вычисления сразу всех координат
78 -- получает параметры модели
79 -- выдаёт список координат точек, пригодных для передачи их на график
80 zlist :: ModelParams -> [(Double, Double)]
81 zlist param = map constructPoint [a', a' + h .. b']
82 where
83     constructPoint e = asPoint $ z param e
84     asPoint u = (realPart u, imagPart u)
85     h = (b' - a') / fromInteger n'
86     a' = precision param
87     b' = (pi * (tau param)) / 2
88     n' = n_integral param
89
90 -- Функция для вычисления координат одной точки на границе воронки взрыва
91 -- получает параметры модели и одну координату точки на границе воронки в поле 'u'
92 -- выдаёт координаты одной точки в поле 'z'
93 -- В данной модели интегрирование производится по линии  $(\pi/4) + i * e'$ 
94 z :: ModelParams -> Double -> Complex Double
95 z param e = finalIntegrate (dzdu param) lowl e n'
96 where n' = n_integral param
97       lowl = precision param
98
99
100 -- Функции для получения точек на всех границах области по отдельности

```

```

101 -- Точки на границе CD
102 zlistCD param = map constructPoint [a', a' + h .. b']
103   where
104     constructPoint e = asPoint $ zCD param e
105     asPoint u = (realPart u, imagPart u)
106     h = (b' - a') / fromInteger n'
107     a' = precision param
108     b' = pi / 4
109     n' = n_integral param
110
111 zCD param e = integrateCD (dzdu param) lowl e n'
112   where n' = n_integral param
113         lowl = precision param
114
115 -- Точки на границе BA
116 zlistBA param = map constructPoint [a', a' + h .. b']
117   where
118     constructPoint e = asPoint $ zBA param e
119     asPoint u = (realPart u, imagPart u)
120     h = (b' - a') / fromInteger n'
121     a' = precision param
122     b' = pi / 4
123     n' = n_integral param
124
125 zBA param e = integrateBA tau' (dzdu param) lowl e n'
126   where n' = n_integral param
127         lowl = precision param
128         tau' = tau param
129
130 -- Точки на границе CB
131 zlistCB param = map constructPoint [a', a' + h .. b']
132   where
133     constructPoint e = asPoint $ zCB param e
134     asPoint u = (realPart u, imagPart u)
135     h = (b' - a') / fromInteger n'
136     a' = precision param
137     b' = ( pi * (tau param) ) / 4
138     n' = n_integral param
139
140 zCB param e = integrateCB (dzdu param) lowl e n'
141   where n' = n_integral param
142         lowl = precision param
143
144 -- Точки на границе DA
145 zlistDA param = map constructPoint [a', a' + h .. b']
146   where
147     constructPoint e = asPoint $ zDA param e
148     asPoint u = (realPart u, imagPart u)
149     h = (b' - a') / fromInteger n'
150     a' = precision param
151     b' = ( pi * (tau param) ) / 4
152     n' = n_integral param
153
154 zDA param e = integrateDA (dzdu param) lowl e n'
155   where n' = n_integral param
156         lowl = precision param
157
158 -- 1. Вычисление координат точек на границе воронки взрыва END
159 -----
160

```

```

161 -----
162 -- 2. Координаты точки на границе воронки взрыва получаем интегрированием dz/du BEGIN
163
164 dzdu :: ModelParams -> Complex Double -> Complex Double
165 dzdu param u = ((dwdu param u) / v_0') * exp ( negate $ chi param u )
166   where v_0' = (v_0 param :+ 0)
167
168 -- 2. Координаты точки на границе воронки взрыва получаем интегрированием dz/du END
169 -----
170
171 -----
172 -- 3. Производная комплексного потенциала BEGIN
173
174 dwdu :: ModelParams -> Complex Double -> Complex Double
175 dwdu param u = (npar * mpar * dividnt) / divisor
176   where
177     npar = 0 :+ ((phi_0' * 2) / pi)
178     mpar = (mdividnt / mdivisor) ^ 2
179     mdividnt = theta2' param 0 * theta3' param 0 * theta4' param 0
180     mdivisor = abs $ (theta1' param pA) ^ 2
181     pA = (pi/4) :+ (pi * tau' / 4)
182     dividnt = theta1' param pB' * theta1' param pB * theta2' param pB' * theta2' param pB
183     divisor = theta1' param pD' * theta1' param pD * theta4' param pD' * theta4' param pD
184     pB = u + (0 :+ (pi * tau' / 4))
185     pB' = u - (0 :+ (pi * tau' / 4))
186     pD = u + ((pi / 4) :+ 0)
187     pD' = u - ((pi / 4) :+ 0)
188     tau' = tau param
189     phi_0' = phi_0 param
190
191 -- 3. Производная комплексного потенциала END
192 -----
193
194 -----
195 -- 4. Функция Жуковского BEGIN
196
197 chi :: ModelParams -> Complex Double -> Complex Double
198 chi param u = (chi_0 param u) - (f_corr param u)
199
200 -- 4. Функция Жуковского END
201 -----
202
203 -----
204 -- 5. Функция Жуковского для упрощённой задачи BEGIN
205 chi_0 :: ModelParams -> Complex Double -> Complex Double
206 chi_0 param u = cpar + (gamma :+ 0) * log (divident / divisor)
207   where
208     cpar = 0 :+ (pi * (gamma - 1))
209     gamma = alpha param
210     divident = (theta1' param pD) * (theta4' param pD)
211     divisor = (theta1' param pD') * (theta4' param pD')
212     pD = u + ((pi / 4) :+ 0)
213     pD' = u - ((pi / 4) :+ 0)
214
215 -- 5. Функция Жуковского для упрощённой задачи END
216 -----
217
218 -----
219 -- 6. Корректирующая функция f(u) BEGIN
220 f_corr :: ModelParams -> Complex Double -> Complex Double

```

```

221 f_corr param u = const_part + (foldl (+) c0 (f_arg u clist))
222 where
223   const_part = ((4 * (1 - (gamma/2)) * negate(1/tau')) :+ 0) * u
224   gamma      = alpha param
225   c0         = 0 :+ 0 -- :)
226   f_arg u clist = map (\ (n, cn) -> ((cn * (1 - rho n)) :+ 0) * exp' n) clist
227   clist       = zip [1..n_cn param] cn'
228   exp' n      = exp $ (4 * u - pi * (fromInteger n)) / (tau' :+ 0)
229   rho n      = exp $ (negate (2 * pi * fromInteger n)) / tau'
230   cn'        = c_n param
231   tau'       = tau param
232
233 -- 6. Корректирующая функция f(u) END
234 -----
235
236 -- Здесь мы закончили с каркасом для вычисления собственно координат точек. Но для того,
237   чтобы корректирующая функция работала, необходимо, чтобы были вычислены коэффициенты
238   cN.
239 -----
240
241 -- 7. Вычисление коэффициентов cN BEGIN
242
243 -- Функция для обновления коэффициентов, уже записанных в ModelParams.
244 -- Она рекурсивная с условием остановки. Основана на методе простых итераций.
245 renew_cn_all :: ModelParams -> IO (ModelParams)
246 renew_cn_all param = do
247   print "renew_cn_all started"
248   new_param <- calc_new_cnlist param
249   err <- high_error param new_param
250   if err == True
251     then renew_cn_all new_param
252     else return $ new_param
253
254 -- Дополнительная функция для вычисления новых коэффициентов.
255 -- Получает текущие ModelParams
256 -- Возвращает обновлённые ModelParams
257 calc_new_cnlist :: ModelParams -> IO (ModelParams)
258 calc_new_cnlist param = do
259   print "calc_new_cnlist started"
260   print "current_cnlist:"
261   printCnList param
262   -- Вычисляем новые параметры
263   let n' = n_cn param
264       new_cn = map (calc_cn param) [1..n']
265       new_param = param {c_n = new_cn}
266   print "new_cnlist:"
267   printCnList new_param
268   return new_param
269
270 -- Дополнительная функция для определения того, велика ли ошибка (и надо ли продолжать
271   вычисления)
272 -- Получает старые ModelParams и новые ModelParams.
273 -- Возвращает True если ошибка велика и False в противном случае
274 high_error :: ModelParams -> ModelParams -> IO (Bool)
275 high_error old_param new_param = do
276   let old_cn = c_n old_param
277       new_cn = c_n new_param
278       errlist = map calc_error (zip old_cn new_cn)
279       err = (> precision') $ foldl (+) 0 errlist
280   -- Вычисляем ошибку

```

```

278     calc_error (x1, x2) = ((x2 - x1) ** 2) / abs (2 * x1 - x2)
279     precision' = precision old_param
280     print $ "Error list : " ++ ((show . map (<precision')) errlist)
281     print $ "Is error big totally : " ++ (show err)
282     return err
283
284 -- Функция для вычисления нового коэффициента на основе вектора существующих.
285 -- принимает объект ModelParams (оттуда берёт вектор cN)
286 -- принимает номер коэффициента M
287 -- возвращает число ---- уточнённое значение c(M)
288 calc_cn :: ModelParams -> Integer -> Double
289 calc_cn param n = (negate dividant / divisor) * (ifun param n / ifun param 0)
290   where
291     dividant = 2 * (1 - (gamma / 2))
292     divisor  = fromInteger n * (1 + rho)
293     rho      = exp $ negate 2 * (pi/tau') * fromInteger n
294     tau'     = tau param
295     gamma    = alpha param
296
297 ifun :: ModelParams -> Integer -> Double
298 ifun param n = integrate f lowl (pi * tau' / 4) n'
299   where
300     lowl      = precision param -- Это хак. В нуле функция qfun' обращается в бесконечность
301               (деление на ноль).
302     f e       = curvature param (t e) * qfun' param e * cosfun e
303     cosfun e  = cos $ 4 * fromInteger n * e / tau'
304     n'        = n_integral param
305     tau'      = tau param
306     t e       = imagPart (chi param (0 :+ e))
307
308 qfun' :: ModelParams -> Double -> Double
309 qfun' param e = ((dividant ^ 2) * (efun param e)) / (divisor1 * divisor2)
310   where
311     dividant = (realPart . abs) $ theta2' param eA * theta2' param eA'
312     divisor1 = ((** gamma1) . realPart . abs) $ (theta2' param ie) * (theta3' param ie)
313     divisor2 = ((** gamma2) . realPart . abs) $ (theta1' param ie) * (theta4' param ie)
314     eA       = ((pi / 4) :+ (e + (pi * tau' / 4)))
315     eA'      = ((pi / 4) :+ (e - (pi * tau' / 4)))
316     ie       = (0 :+ e)
317     tau'     = tau param
318     gamma1   = (1 + alpha param)
319     gamma2   = (1 - alpha param)
320
321 efun :: ModelParams -> Double -> Double
322 efun param e = (exp . sum) $ map (transform e) cnlist
323   where
324     transform e (n, cn) = cn * (1 - exparg n) * cosarg n * e
325     exparg n = exp $ negate 2 * pi * fromInteger n / tau'
326     cosarg n = cos $ 4 * fromInteger n / tau'
327     cnlist   = zip [1..n'] cn'
328     cn'      = tail $ c_n param
329     n'       = n_cn param
330     tau'     = tau param
331
332 -- 7. Вычисление коэффициентов cN END
333 -----
334
335 -----
336 -- 8. Функция кривизны BEGIN

```

```

337
338 -- Определена как кривизна в точках, расположенных вдоль кривой.
339 -- Т. о., параметризована длиной кривой, и имеет один аргумент.
340 -- получает параметр указывающий на точку на криволинейной дуге,
341 -- выдаёт значение кривизны в этой точке
342 curvature :: ModelParams -> Double -> Double
343 curvature param x = ((1 - epssin) ** (3/2)) / p
344   where epssin = (epsilon * (sin x)) ^ 2
345         epsilon = (sqrt (b'*b' - a'*a')) / b'
346         p = (a'*a') / (b'*b')
347         a' = a param
348         b' = b param
349
350 -- 8. Функция кривизны END
351 -----
352
353
354 -----
355 -- 9. Операторы интегрирования BEGIN
356
357 -- Оператор интегрирования по ординате. То есть, интегрируем функцию комплексного
358 -- переменного  $f(x + iy)$  по линии  $(0 + ia) \dots (0 + ib)$ .
359 -- Используется метод трапеций. Вроде как.
360 -- на вход получаем функцию комплексного аргумента, начальную ординату, конечную ординату и
361 -- количество отрезков разбиения сетки.
362 integrateY :: (RealFloat a, Enum a) => (Complex a -> Complex a) -> a -> a -> Integer ->
363   Complex a
364 integrateY f a b n =
365   ((sum $ map f yvalues) + t) * (h :+ 0)
366   where
367     values = [a + h * fromInteger(nn) | nn <- [0..n]]
368     yvalues = map ((:+) x) values -- DO NOT REMOVE BRACKETS AROUND ':+ '
369     t = (f (x :+ a) + f (x :+ b))/2
370     h = (b - a) / fromInteger(n)
371     x = 0
372
373 -- Тот же самый integrateY, только интегрирование производится по  $((\pi/4) + ia) \dots ((\pi/4) + ib)$ 
374 finalIntegrate :: (RealFloat a, Enum a) => (Complex a -> Complex a) -> a -> a -> Integer
375   -> Complex a
376 finalIntegrate f a b n =
377   ((sum $ map f yvalues) + t) * (h :+ 0)
378   where
379     values = [a + h * fromInteger(nn) | nn <- [0..n]]
380     yvalues = map ((:+) x) values -- DO NOT REMOVE BRACKETS AROUND ':+ '
381     t = (f (x :+ a) + f (x :+ b))/2
382     h = (b - a) / fromInteger(n)
383     x = pi / 4
384
385 integrateCD,integrateDA,integrateCB :: (RealFloat a, Enum a) => (Complex a -> Complex a) ->
386   a -> a -> Integer -> Complex a
387 integrateCB f a b n =
388   ((sum $ map f yvalues) + t) * (h :+ 0)
389   where
390     values = [a + h * fromInteger(nn) | nn <- [0..n]]
391     yvalues = map ((:+) x) values -- DO NOT REMOVE BRACKETS AROUND ':+ '
392     t = (f (x :+ a) + f (x :+ b))/2
393     h = (b - a) / fromInteger(n)
394     x = 0
395
396

```



```

391 integrateBA :: (RealFloat a, Enum a) => a -> (Complex a -> Complex a) -> a -> a ->
    Integer -> Complex a
392 integrateBA tau' f a b n =
393     ((sum $ map f xvalues) + t) * (h :+ 0)
394     where
395         values = [a + h * fromInteger(nn) | nn <- [0..n]]
396         xvalues = map (:+ y) values
397         t = (f (a :+ y) + f (b :+ y))/2
398         h = (b - a) / fromInteger(n)
399         y = pi * tau' / 4
400
401 integrateCD f a b n =
402     ((sum $ map f xvalues) + t) * (h :+ 0)
403     where
404         values = [a + h * fromInteger(nn) | nn <- [0..n]]
405         xvalues = map (:+ y) values
406         t = (f (a :+ y) + f (b :+ y))/2
407         h = (b - a) / fromInteger(n)
408         y = 0
409
410 integrateDA f a b n =
411     ((sum $ map f yvalues) + t) * (h :+ 0)
412     where
413         values = [a + h * fromInteger(nn) | nn <- [0..n]]
414         yvalues = map ((:+) x) values -- DO NOT REMOVE BRACKETS AROUND ':+ '
415         t = (f (x :+ a) + f (x :+ b))/2
416         h = (b - a) / fromInteger(n)
417         x = pi / 4
418
419 -- Оператор интегрирования по абсциссе. То есть, интегрируем функцию комплексного
    переменного  $f(x + iy)$  по линии  $(a + i0) .. (b + i0)$ .
420 -- Используется метод трапеций. Вроде как.
421 -- на вход получаем функцию комплексного аргумента, начальную абсциссу, конечную абсциссу и
    количество отрезков разбиения сетки.
422 integrateX :: (RealFloat a, Enum a) => (Complex a -> Complex a) -> a -> a -> Integer ->
    Complex a
423 integrateX f a b n =
424     ((sum $ map f xvalues) + t) * (h :+ 0)
425     where
426         values = [a + h * fromInteger(nn) | nn <- [0..n]]
427         xvalues = map (:+ 0) values
428         t = (f (a :+ 0) + f (b :+ 0))/2
429         h = (b - a) / fromInteger(n)
430
431 integrateYreal :: (Double -> Complex Double) -> Double -> Double -> Integer -> Complex
    Double
432 integrateYreal f a b n =
433     ((sum $ map f values) + t) * (h :+ 0)
434     where
435         values = [a + h * fromInteger(nn) | nn <- [0..n]]
436         t = (f a + f b) / (2 :+ 0)
437         h = (b - a) / fromInteger(n)
438         x = 0
439
440 -- Оператор интегрирования действительных функций методом трапеций.
441 -- Получает на вход функцию, нижний предел интегрирования, верхний предел интегрирования и
    количество отрезков разбиения сетки.
442 integrate f a b n =
443     ((sum $ map f values) + t) * h
444     where

```

```

445     values = [a + h * fromInteger(nn) | nn <- [0..(n-1)]]
446     t = (f a + f b)/2
447     h = (b - a) / fromInteger(n)
448
449 -- 9. Операторы интегрирования END
450 -----

```

## B Theta.hs

```

1  module Theta where
2  -- Реализация тета-функций на основе тригонометрических рядов.
3  -- Тета-функции зависят от параметра tau, мнимая часть которого должна быть положительна.
4  -- Тау используется только в параметре 'q' в самих функциях, так что можно считать, что
   математически тета-функции зависят от кью, но технически работа этого модуля зависит от
   наличия тау.
5  -- Любую функцию надо вызывать через thetaN <n> (qrap <tau>) <u>
6
7  import Control.Parallel
8  import Control.Parallel.Strategies
9
10 -- Мы работаем с комплексными числами
11 import Data.Complex
12
13 -- Параметр q из математического представления тета-функций.
14 qpar tau = exp $ pi * tau * (0 :+ 1)
15
16 -- Функция, изображающая из себя  $(-1)^n$ 
17 signfun :: (RealFloat a) => Integer -> Complex a
18 signfun nn
19 |   odd nn = -1
20 | otherwise = 1
21
22 -- Функция |Theta_1
23 theta1 :: (RealFloat a) => Integer -> Complex a -> Complex a -> Complex a
24 theta1 n q u = 2 * sum thetaarg
25   where thetaarg = [(signfun nn) * (qfun q nn) * (sinfun u nn) | nn <- [1..n]]
26         qfun :: (RealFloat a) => Complex a -> Integer -> Complex a
27         qfun q nn = q ** (0.5 + fromInteger nn) ** 2
28         sinfun :: (RealFloat a) => Complex a -> Integer -> Complex a
29         sinfun u nn = sin $ fromInteger(2 * nn + 1) * u
30
31 -- Функция |Theta_2
32 theta2 :: (RealFloat a) => Integer -> Complex a -> Complex a -> Complex a
33 theta2 n q u = 2 * sum thetaarg
34   where thetaarg = [(qfun q nn) * (cosfun u nn) | nn <- [1..n]]
35         qfun :: (RealFloat a) => Complex a -> Integer -> Complex a
36         qfun q nn = q ** (0.5 + fromInteger nn) ** 2
37         cosfun :: (RealFloat a) => Complex a -> Integer -> Complex a
38         cosfun u nn = cos $ fromInteger(2 * nn + 1) * u
39
40 -- Функция |Theta_3
41 theta3 :: (RealFloat a) => Integer -> Complex a -> Complex a -> Complex a
42 theta3 n q u = 1 + 2 * sum thetaarg
43   where thetaarg = [(qfun q nn) * (cosfun u nn) | nn <- [1..n]]
44         qfun :: (RealFloat a) => Complex a -> Integer -> Complex a
45         qfun q nn = q ** (fromInteger nn) ** 2
46         cosfun :: (RealFloat a) => Complex a -> Integer -> Complex a
47         cosfun u nn = cos $ fromInteger (2 * nn) * u
48

```

```

49 -- Функция \Theta_4
50 theta4 :: (RealFloat a) => Integer -> Complex a -> Complex a -> Complex a
51 theta4 n q u = 1 + 2 * sum thetaarg
52   where thetaarg = [(signfun nn) * (qfun q nn) * (cosfun u nn) | nn <- [1..n]]
53     qfun :: (RealFloat a) => Complex a -> Integer -> Complex a
54     qfun q nn = q ** fromInteger(nn) ** 2
55     cosfun :: (RealFloat a) => Complex a -> Integer -> Complex a
56     cosfun u nn = cos $ fromInteger(2 * nn) * u

```

## C Main.hs

```

1  module Main where
2
3  -- Скорее всего, здесь не понадобится этот модуль, потому что работа с комплексными числами
   -- будет инкапсулирована в модуле BlastModel
4  --import Data.Complex
5
6  -- Импортируем собственно саму модель
7  import BlastModel
8
9  -- Модули, необходимые для поддержки черчения графиков функций
10 import Graphics.Rendering.Chart
11 import Graphics.Rendering.Chart.Gtk
12 import Data.Colour
13 import Data.Colour.Names
14 import Data.Accessor
15
16 -- Модуль для оценки времени выполнения той или иной функции. Самописный, на основе более
   -- низкоуровневых модулей
17 import Time
18
19 -- Точка входа программы. Программа делает последовательно ряд шагов и завершается.
20 main = do
21   -- 1. Печатаем приглашение и описание того, кто мы такие вообще.
22   printGreeting
23   -- 2. Загружаем параметры тем или иным способом
24   param <- getParameters
25   -- 3. Печатаем параметры, с которыми в итоге работаем.
26   printParameters param
27   -- 4. Обновляем в параметрах список коэффициентов cN "c_n param"
28   -- 4.5. Выводим данные оценки времени выполнения
29   new_param <- renewCoeffs param
30   -- 5. Вычисляем список точек на границе воронки взрыва
31   -- 5.5. Выводим данные оценки времени выполнения
32   pointlist <- calcPoints new_param
33   let linetitle = extract_param_names new_param
34   -- 6. Передаём список точек функции черчения графика, которая чертит график
35   plotFullGraph linetitle pointlist
36   -- 7. Пишем, что всё прошло успешно, так что завершаемся
37   printGoodbye
38   -- Точка входа программы END
39
40 -----
41 -- 1. Печатаем приглашение и описание того, кто мы такие вообще. BEGIN
42 printGreeting :: IO ()
43 printGreeting = do
44   putStrLn "Greetings! ~ This is blast_model, based on solid-liquid model of Lavrentyev and Kotlyar."
45   -- 1. Печатаем приглашение и описание того, кто мы такие вообще. END
46 -----

```

```

47
48 -----
49 -- 2. Загружаем параметры тем или иным способом. BEGIN
50
51 getParameters :: IO (ModelParams)
52 getParameters = do
53   print "[1]_---_load_parameters_manually"
54   print "[anykey]_---_load_defaults"
55   print "Parameters_n_integral, _cn, _n_theta, stay_constant"
56   what <- getLine
57   if what == "1"
58     then do print "Ok, _will_load_parameters_from_you"
59             getModelParameters
60     else do print "Ok, _will_load_default_parameters"
61           return null_parameters
62
63 getModelParameter :: String -> IO(Double)
64 getModelParameter parname = do
65   putStr $ "Value_of_" ++ parname
66   param <- getLine
67   return $ read param
68
69 getModelParameters :: IO (ModelParams)
70 getModelParameters = do
71   print "Value_of_phi_0:"
72   phi_0' <- getLine
73   print "Value_of_v_0:"
74   v_0' <- getLine
75   print "Value_of_tau|:"
76   tau' <- getLine
77   print "Value_of_alpha:"
78   alpha' <- getLine
79   print "Value_of_a:"
80   a' <- getLine
81   print "Value_of_b:"
82   b' <- getLine
83   print "Precision:"
84   precision' <- getLine
85   -- Параметры точности константные, потому что.
86   -- n_theta' <- getModelParameter "n_theta"
87   -- n_integral' <- getModelParameter "n_integral"
88   -- n_cn' <- getModelParameter "n_cn"
89   print " Filler_for_cn:"
90   fill_cn <- getLine
91   return ModelParams{
92     phi_0 = read phi_0',
93     v_0 = read v_0',
94     tau = read tau',
95     alpha = read alpha',
96     a = read a',
97     b = read b',
98     precision = read precision',
99     -- Берём параметры точности из параметров по умолчанию
100    n_theta = n_theta null_parameters,
101    n_integral = n_integral null_parameters,
102    n_cn = n_cn null_parameters,
103    -- Начальные значения коэффициентов приравниваем к значению-заполнителю
104    c_n = replicate ((fromInteger . n_cn) null_parameters) (read fill_cn)
105  }
106

```

```

107 -- 2. Загружаем параметры тем или иным способом. END
108 -----
109
110 -----
111 -- 3. Печатаем параметры, с которыми в итоге работаем. BEGIN
112 printParameters :: ModelParams -> IO ()
113 printParameters param = do
114   -- TODO: Напиши меня!
115   print "Current_model_parameters:_"
116   print param
117 -- 3. Печатаем параметры, с которыми в итоге работаем. END
118 -----
119
120 -----
121 -- 4. Обновляем в параметрах список коэффициентов cN "c_n param". BEGIN
122 renewCoeffs :: ModelParams -> IO (ModelParams)
123 renewCoeffs param = do
124   putStrLn "Second, we compute the parameters c_n needed for computations"
125   -- 4.5. Выводим данные оценки времени выполнения
126   new_param <- time $ renew_cn_all param
127   return new_param
128
129 -- 4. Обновляем в параметрах список коэффициентов cN "c_n param". END
130 -----
131
132 -----
133 -- 5. Вычисляем список точек на границе воронки взрыва. BEGIN
134 type PointList = [(Double, Double)]
135 type BAPointList = PointList
136 type CDPointList = PointList
137 type CBPointList = PointList
138 type DAPointList = PointList
139 type ZPlanePoints = (CBPointList, CDPointList, DAPointList, BAPointList)
140 calcPoints :: ModelParams -> IO (ZPlanePoints)
141 calcPoints param = do
142   print "We will now compute points on the edge of blast."
143   let da_pointlist = (init . tail) $ zlistDA param
144       ba_pointlist = (init . tail) $ zlistBA param
145       cb_pointlist = (init . tail) $ zlistCB param
146       cd_pointlist = (init . tail) $ zlistCD param
147   -- 5.5. TODO: Выводим данные оценки времени выполнения
148   print "Points at DA:_"
149   time $ outputData da_pointlist
150   print "Points at BA:_"
151   time $ outputData ba_pointlist
152   print "Points at CD:_"
153   time $ outputData cd_pointlist
154   print "Points at CB:_"
155   time $ outputData cb_pointlist
156   return (cb_pointlist, cd_pointlist, da_pointlist, ba_pointlist)
157
158 outputData datalist = do
159   mapM (\(x, y) -> putStrLn $ (show x) ++ ";\n" ++ (show y)) datalist
160   return ()
161
162 -- 5. Вычисляем список точек на границе воронки взрыва. END
163 -----
164
165 -----
166 -- 6. Передаём список точек функции черчения графика, которая чертит график. BEGIN

```

```

167
168 extract_param_names param =
169   let phi0 = show $ phi_0 param
170   v0 = show $ v_0 param
171   alpha0 = show $ alpha param
172   a0 = show $ a param
173   b0 = show $ b param
174   abstau = show $ tau param
175   precision0 = show $ precision param
176   in "Phi0=" ++ phi0 ++ ",V0=" ++ v0 ++ ",Alpha0=" ++ alpha0 ++ ",A=" ++ a0
      ++ ",B=" ++ b0 ++ ",tau=" ++ abstau ++ ",precision=" ++ precision0
177
178 plotGraph :: String -> PointList -> IO()
179 plotGraph linetitle datalist = do
180   renderableToWindow (toRenderable (chart linetitle datalist)) 640 480
181   renderableToPNGFile (toRenderable (chart linetitle datalist)) 640 480 (linetitle ++ ".png")
182   return ()
183
184 plotFullGraph :: String -> ZPlanePoints -> IO()
185 plotFullGraph linetitle datalists = do
186   renderableToWindow (toRenderable (manychart linetitle datalists)) 640 480
187   renderableToPNGFile (toRenderable (manychart linetitle datalists)) 640 480 (linetitle ++
      ".png")
188   return ()
189
190 chart :: String -> PointList -> Layout1 Double Double
191 chart linetitle datalist = layout
192   where
193     myPlot = plot_lines_values ^= [datalist]
194             $ plot_lines_style .> line_color ^= opaque blue
195             $ plot_lines_title ^= linetitle
196             $ defaultPlotLines
197     layout = layout1_title ^= "Form_of_blast_edge"
198             $ layout1_plots ^= [Left (toPlot myPlot)]
199             $ defaultLayout1
200
201 manychart :: String -> ZPlanePoints -> Layout1 Double Double
202 manychart linetitle (pointsCB, pointsCD, pointsBA, pointsDA) = layout
203   where
204     plotBA = plot_lines_values ^= [pointsBA]
205             $ plot_lines_style .> line_color ^= opaque green
206             $ plot_lines_title ^= "BA"
207             $ defaultPlotLines
208     plotDA = plot_lines_values ^= [pointsDA]
209             $ plot_lines_style .> line_color ^= opaque red
210             $ plot_lines_title ^= "DA"
211             $ defaultPlotLines
212     plotCB = plot_lines_values ^= [pointsCB]
213             $ plot_lines_style .> line_color ^= opaque blue
214             $ plot_lines_title ^= "CB:" ++ linetitle
215             $ defaultPlotLines
216     plotCD = plot_lines_values ^= [pointsCD]
217             $ plot_lines_style .> line_color ^= opaque cyan
218             $ plot_lines_title ^= "CD"
219             $ defaultPlotLines
220     layout = layout1_title ^= "Form_of_blast_edge"
221             $ layout1_plots ^= [
222               Left (toPlot plotBA),
223               Left (toPlot plotDA),
224               -- Left (toPlot plotCD),

```

```

225         Left (toPlot plotCB)
226     ]
227     $ defaultLayout1
228
229 -- Пример оформления чертежа
230 -- -- chart = layout
231 -- -- -- where
232 -- -- --   am :: Double -> Double
233 -- -- --   am x = (sin (x*3.14159/45) + 1) / 2 * (sin (x*3.14159/5))
234 -- -- --   sinusoid1 = plot_lines_values ^= [[ (x,(am x)) | x <- [0,(0.5)..400]]]
235 -- -- --           $ plot_lines_style .> line_color ^= opaque blue
236 -- -- --           $ plot_lines_title ^= "am"
237 -- -- --           $ defaultPlotLines
238 -- -- --   sinusoid2 = plot_points_style ^= filledCircles 2 (opaque red)
239 -- -- --           $ plot_points_values ^= [ (x,(am x)) | x <- [0,7..400]]
240 -- -- --           $ plot_points_title ^= "am points"
241 -- -- --           $ defaultPlotPoints
242 -- -- --   layout = layout1_title ^= "Amplitude Modulation"
243 -- -- --           $ layout1_plots ^= [Left (toPlot sinusoid1),
244 -- -- --                               Left (toPlot sinusoid2)]
245 -- -- --           $ defaultLayout1
246
247 -- 6. Передаём список точек функции черчения графика, которая чертит график. END
248 -----
249
250 -----
251 -- 7. Пишем, что всё прошло успешно, так что завершаемся. BEGIN
252 printGoodbye :: IO ()
253
254 printGoodbye = do
255     putStrLn "All done, goodbye."
256 -- 7. Пишем, что всё прошло успешно, так что завершаемся. END
257 -----
258
259
260 -- Автоматизированные тесты для некоторого покрытия поля параметров модели
261 silentlyPlotGraph :: ModelParams -> IO()
262 silentlyPlotGraph param = do
263     new_param <- renewCoeffs param
264     pointlist <- calcPoints new_param
265     let linetitle = extract_param_names new_param
266     renderableToPNGFile (toRenderable (manychart linetitle pointlist)) 640 480 (linetitle ++ ".png")
267     return ()
268
269 testPhi0 :: ModelParams -> IO()
270 testPhi0 param = do
271     let plotWithPhi0 p = silentlyPlotGraph param{phi_0 = (p * 0.1)}
272     mapM plotWithPhi0 [0..20]
273     return ()
274
275 testV0 :: ModelParams -> IO()
276 testV0 param = do
277     let plotWithV0 p = silentlyPlotGraph param{v_0 = (p * 15)}
278     mapM plotWithV0 [0..10]
279     return ()
280
281 testTau :: ModelParams -> IO()
282 testTau param = do
283     let plotWithTau p = silentlyPlotGraph param{tau = (p * 0.1)}
284     mapM plotWithTau [1..10]

```

```
285   return ()
286
287 testAlpha :: ModelParams -> IO()
288 testAlpha param = do
289   let plotWithAlpha p = silentlyPlotGraph param{alpha = (p * 0.1)}
290   mapM plotWithAlpha [0..10]
291   return ()
```